

MATEMATICKO FYZIKÁLNÍ FAKULTA UNIVERSITY KARLOVY

Katedra matematické fyziky

DIPLOMOVÁ PRÁCE

Studium některých dvoudimenzionálních mřížových
modelů feromagnetik metodami Monte Carlo

Vypracoval : Petr Kulhánek

Vedoucí dipl..práce : RNDr. Roman Kotecký, CSc.,
KMF MFF UK

P R A H A 1 9 8 3

Prohlášení
Katedra dějepisných věd
za jeho osobní rady a připomínky. Můj dík
patří také pracovníkům Tělocvičného centra UK.
Prohlašuji, že jsem práci vypracoval samostatně
za pomoci literatury uvedené v seznamu.

Petr Kucháček

Obsah

1. Úvod 3

2. Carlosovy metody pro MPEkové modely 6

3. 2.1. Typická interpretace metody MO 10

3. 2.2. Chyby a nepřesnosti při metodě MO 13

3. 2.3. Popis programu 16

4. Aplikace pro MPEkové modely 22

4. 1. Modely model ve dvou dimenzích 25

4. 2. Modely model ve dvou dimenzích 28

4. 3. Modely model 31

5. 1. MO simulace průběhu $X(t)$ a $Y(t)$ 33

5. 2. MO simulace průběhu $X(t)$ a $Y(t)$ 35

5. 3. Typická konfigurace 40

6. Závěr 52

Děkuji RNDr. Koteckému za vedení této práce
a za jeho cenné rady a připomínky. Můj dík
patří také pracovníkům Výpočetního centra UK.

O B S A H

Ú V O D	5
I. 1. Monte Carlo metody pro mřížové modely ...	6
I. 2. Dynamická interpretace metody MC	10
I. 3. Chyby a nepřesnosti při metodě MC	13
I. 4. Popis programu	16
II. 1. Dualita pro mřížové modely	22
II. 2. Pottsův model ve dvou dimenzích	25
II. 3. Z_Q model ve dvou dimenzích	28
II. 4. Z_Q^P model	31
III.1. MC simulace průběhu $E(T)$ a $C(T)$	35
III.2. MC simulace průběhu $M(T)$ a $\chi(T)$	45
III.3. Typické konfigurace	48
L I T E R A T U R A	52

Ú V O D

Tato práce se zabývá problematikou dvoudimenzionálních mřížových modelů feromagnetik a jejich modelování na počítači. Práce je rozdělena do tří částí.

V části I je popis metody Monte Carlo použité při sestavování programu a popis výsledného programu.

V části II jsou shrnuty základní poznatky o Pottsově modelu a Z_Q modelu. Dále je zaveden Z_Q^P model jako přirozený přechod mezi Z_Q a Pottsovým modelem. Je diskutována problematika duality uvedených modelů a zjištěna selfdualnost modelu Z_6^5 . Pro model Z_6^5 byly spočteny a v závěru části II přehledně sepsány do tabulky hodnoty veličin w_n, \tilde{w}_n , které charakterizují původní a jemu duální model.

V části III jsou graficky znázorněny výsledky počítačových experimentů, prováděných na počítači EC 1040 ve Výpočetním centru Univerzity Karlovy. Na základě těchto výsledků byl v této části práce proveden odhad kritických teplot jednotlivých modelů.

I. 1. Monte Carlo metody pro mřížové modely.

Uvažujme dvoudimenzionální čtvercovou mříž Δ s N vrcholy. V každém vrcholu a je lokalizovaný spin, který může nabývat hodnoty $q_a \in \{1, 2, \dots, Q\}$. Konfiguraci na celé mříži označme $K \equiv \{q_a\}_{a=1}^N$. Interakce mezi spiny systému je zadána Hamiltonovou funkcí $\mathcal{H}_N(K)$.

Ze statistického hlediska lze na náš systém nazírat dvojím způsobem. Buď při dané teplotě T sledujeme systém delší časový úsek a zajímá nás množina konfigurací $\{K_i\}_T$, kterými systém prošel nebo sledujeme současně velký soubor našich systémů a potom $\{K_i\}_T$ označuje okamžitou množinu konfigurací všech systémů souboru. Při dostatečně velkém časovém intervalu, resp. souboru s velkým počtem členů lze očekávat, že pro pravděpodobnost výskytu k -té konfigurace v $\{K_i\}_T$ platí v termodynamické rovnováze při teplotě T Boltzmanovo rozdělení:

$$(1) \quad P_k^{eq} \sim e^{-\beta \mathcal{H}_N(K_k)} \quad , \quad \text{kde } \beta = \frac{1}{k_B T} \text{ je inverzní teplota, } k_B \text{ Boltz. konst.}$$

Nechť $A(K)$ je libovolná pozorovatelná systému /například energie, magnetizace, atd./ Střední hodnotou při teplotě T chápeme výraz

$$(2) \quad \langle A \rangle = \frac{\sum_i A(K_i) P_i^{eq}}{\sum_i P_i^{eq}} = \frac{\sum_i A(K_i) e^{-\beta \mathcal{H}_N(K_i)}}{\sum_i e^{-\beta \mathcal{H}_N(K_i)}}$$

Suma se probíhá přes všechny možné konfigurace systému. Při výpočtech volné energie a jejích derivací hraje základní roli partiční suma Z :

$$(3) \quad Z = \sum_i e^{-\beta \mathcal{H}_N(K_i)}$$

Vzhledem k tomu, že sčítání přes všechny konfigurace znamená velké množství součtů přes jednotlivé stupně volnosti systému není vhodné při výpočtu používat přímé numerické metody. Ani náhodný Monte Carlo /MC/ výběr bodů sumace není vhodný vzhledem k faktoru $e^{-\beta \mathcal{H}_N}$, který se může měnit o mnoho řádů. Účinnější je vybrat "statisticky reprezentativní" posloupnost konfigurací $\{K_i\}$, která simuluje soubor stavů v termodynamické rovnováze při teplotě $T = \frac{1}{k_B \beta}$. Označme P_i pravděpodobnost výskytu konfigurace K_i v reprezentativní posloupnosti. Nyní je třeba reprezentativní posloupnost zkonstruovat tak, aby $P_i \rightarrow P_i^{eq}$. Tuto konstrukci lze provést Markovským procesem, který je určen pravděpodobnostmi přechodu $w_{i \rightarrow j}$ z konfigurace K_i do konfigurace K_j . Postačující podmínkou pro konvergenci $P_i \rightarrow P_i^{eq}$ je vztah,

(4a) $P_i^{eq} w_{i \rightarrow j} = P_j^{eq} w_{j \rightarrow i}$

který musí splňovat pravděpodobnosti $w_{i \rightarrow j}$. Tato podmínka zajišťuje, že matice $w_{i \rightarrow j}$ má za vlastní vektor Boltzmannovo rozdělení a tedy převede soubor v termodynamické rovnováze na sebe. Z věty o kontrahujícím zobrazení lze potom ukázat, že $P_i \rightarrow P_i^{eq}$ [10,16]. Podmínka (4a) vyjadřuje fakt, že v termodynamické rovnováze je počet systémů souboru přecházejících z K_i do K_j roven počtu systémů souboru přecházejících z K_j do K_i . Pomocí Boltzmannova rozdělení [1] ji lze přepsat do tvaru

$$(4b) \quad \frac{w_{i \rightarrow j}}{w_{j \rightarrow i}} = e^{-\beta(\mathcal{H}_N(K_j) - \mathcal{H}_N(K_i))}$$

Veličinu $\langle A \rangle$ bude nyní možné odhadnout prostým středováním přes naši reprezentativní posloupnost [2]:

$$(5) \quad \langle A \rangle \approx \bar{A} = \frac{1}{M} \sum_{R\{K_i\}_{i=1}^M} A(K_i)$$

Při M dosti velkém \bar{A} dobře aproximuje $\langle A \rangle$.

Podmínka /4/ neurčuje $w_{i \rightarrow j}$ jednoznačně. Reprezentativní posloupnost $R\{K_i\}$ lze získat tak, že K_i, K_{i+1} se od sebe liší jen hodnotami spinových proměnných na nějaké podmnožině $S \subset \text{sup } \Lambda$, kde $\text{sup } \Lambda$ označuje množinu všech podmnožin Λ . Speciálně se K_i, K_{i+1} mohou lišit jen hodnotou spinu v jediném vrcholu mříže. V tomto případě další člen reprezentativní posloupnosti získáme tak, že systematicky nebo náhodně vybíráme vrchol mříže a a v tomto vrcholu zaměníme spin s odpovídající pravděpodobností. Ani nyní není podmínkou /4/ určena $w_{i \rightarrow j}$ jednoznačně. Podmínku /4/ lze splnit například následujícím výběrem $w_{i \rightarrow j}$:

$$(6a) \quad w_{i \rightarrow j} = \frac{1}{2} \left[1 - \tanh \left(\frac{\beta \delta \mathcal{H}}{2} \right) \right]$$

$$(6b) \quad w_{i \rightarrow j} = \begin{cases} e^{-\beta \delta \mathcal{H}} & \text{pro } \delta \mathcal{H} > 0 \\ 1 & \text{pro } \delta \mathcal{H} \leq 0 \end{cases}$$

$$(6c) \quad w_{i \rightarrow j} = e^{-\beta \mathcal{H}_N(K_j)} / \sum_k e^{-\beta \mathcal{H}_N(K_k)}$$

Ve všech výrazech $\delta \mathcal{H} = \mathcal{H}_N(K_j) - \mathcal{H}_N(K_i)$ a předpokládáme, že dvě po sobě jdoucí konfigurace se liší jen hodnotou

spinu ve vrcholu a mříže.

Metoda /6b/ /Metropolisova metoda/ náhodně vybere novou konfiguraci K_j . Je-li $\delta\mathcal{H} \leq 0$ považujeme K_j za další člen reprezentativní posloupnosti. Je-li $\delta\mathcal{H} > 0$ generujeme náhodné číslo $\xi \in (0, 1)$. Pro $\xi \leq e^{-\beta\delta\mathcal{H}}$ považujeme K_j za novou konfiguraci reprezentativní posloupnosti, pro $\xi > e^{-\beta\delta\mathcal{H}}$ ponecháme původní konfiguraci K_i jako nový člen reprezentativní posloupnosti.

Metoda/6 c/ /metoda teplotní lázně/ je pomalejší než Metropolisova metoda /díky nutnosti počítat sumu ve jmenovateli/, ale rychleji konverguje k termodynamické rovnováze a tedy v aproximaci /5/ lze vzít menší počet členů. To je způsobeno tím, že výběr nové konfigurace nezávisí na původní hodnotě spinu ve vrcholu a, kde výměnu provádíme.

I. 2. Dynamická interpretace metody MC

Skutečný dynamický vývoj systému v rámci klasické mechaniky je deterministicky určen počátečními podmínkami a Hamiltonovou funkcí \mathcal{H}_N . Časový vývoj pozorovatelných $A(K)$ je dán kanonickými rovnicemi

$$(7) \quad \frac{dA}{dt} = [A, \mathcal{H}_N]_P$$

kde vpravo stojí Poissonova závorka veličin \mathcal{H}_N, A .

Z hlediska výše popsané MC metody lze také sledovat časový vývoj systému, ale interpretace je poněkud odlišná. Označme v případě, že systém není v termodynamické rovnováze $P_i(t)$ pravděpodobnost, že se systém nachází v čase t v konfiguraci K_i . Časovou škálu chápeme jako parametr rostoucí s generováním každého dalšího prvku reprezentativní posloupnosti $\{K_i\}$. Za jednotku volíme 1 MCS / Monte Carlo step / odpovídající systematickému proběhnutí celé mříže spinů metodou MC. Vzhledem k velkému počtu iterací při počítačových experimentech můžeme parametr t považovat za spojité. Základním vztahem pro nerovnovážné procesy potom je

$$(8) \quad \frac{dP_i}{dt} = \sum_j P_j(t) w_{j \rightarrow i} - \sum_j P_i(t) w_{i \rightarrow j}$$

První člen napravo představuje všechny procesy, ve kterých se uskutečňuje přechod z ostatních stavů do stavu i a druhý člen naopak procesy, při kterých se přechází ze stavu i do jiných stavů.

Specielně v termodynamické rovnováze je $P_j(t) = P_j^{eq}$
 a z podmínky /4/ máme

$$(9) \quad \frac{dP_i}{dt} = \sum_j (P_j^{eq} w_{j \rightarrow i} - P_i^{eq} w_{i \rightarrow j}) = 0$$

Střední hodnotu pozorovatelné $A(K)$ nyní chápeme
 analogicky jako ve výrazu /2/:

$$(10) \quad \langle A(t) \rangle = \frac{\sum_i A(K_i) P_i(t)}{\sum_i P_i(t)}$$

Takto chápaný časový vývoj systému neodpovídá skuteč-
 nému dynamickému vývoji, který je dán Hamiltonovou funkcí
 a počáteční konfigurací. Zde získáváme informaci jen
 o relaxaci středních hodnot pozorovatelných. Zadáme-li
 teplotu a počáteční konfiguraci, potom MC metoda simuluje
 proces, při kterém systém vnořený do okolí s teplotou T
 relaxuje k termodynamické rovnováze při této teplotě.
 Získáme správné odhady středních hodnot pozorovatelných
 a mnoho dalších cenných informací o systému.

Každé pozorovatelné $A(K)$ se přiřazuje t. zv. rela-
 xační funkce ϕ_A a relaxační čas τ_A . Jsou definovány
 vztahy:

$$(11) \quad \phi_A(t) = \frac{\langle A(t) \rangle - \lim_{t \rightarrow \infty} \langle A(t) \rangle}{\langle A(0) \rangle - \lim_{t \rightarrow \infty} \langle A(t) \rangle}$$

$$(12) \quad \tau_A = \int_0^{\infty} \phi_A(t) dt$$

Výraz $\lim_{t \rightarrow \infty} \langle A(t) \rangle$ ve vztahu /11/ představuje rovnovážnou střední hodnotu pozorovatelné A pro již zrelaxovaný systém.

I. 3. Chyby a nepřesnosti při metodě MC

Výpočet MC metodou lze v podstatě provádět dvojným způsobem. Buď sledujeme relaxaci systému z různých počátečních konfigurací při konstantní teplotě T nebo provádíme teplotní změny: Zadáme počáteční konfiguraci K_0 a počáteční teplotu T_0 a provedeme příslušný MC výpočet středních hodnot sledovaných pozorovatelných. Poslední konfiguraci systému potom chápeme jako výchozí konfiguraci pro teplotu $T_0 + \Delta T$ atd. Tento výpočet je ovšem podstatně náročnější na počítačový čas než pouhá relaxace při konstantní teplotě. Při obou způsobech výpočtu používáme přibližnou MC metodu a může proto dojít k celé řadě nepřesností a chyb.

Problémy přesnosti metod MC jsou často diskutovány v literatuře [2, 10, 11].

Na základě teoretických úvah a dlouholetých zkušeností s MC simulacemi, autoři dospívají k následujícím závěrům:

/A/ Chyby způsobené generátory náhodných čísel nebyly vůbec pozorovány. Jako generátor náhodných čísel se zpravidla používá multiplikativní generátor [15]

$c_{m+1} = \lambda c_m \pmod{P}$, kde pro binární počítač je

$P = 2^k$. Volíme-li $\lambda = 3 \pmod{8}$, t. j. $\lambda = 8i + 3$

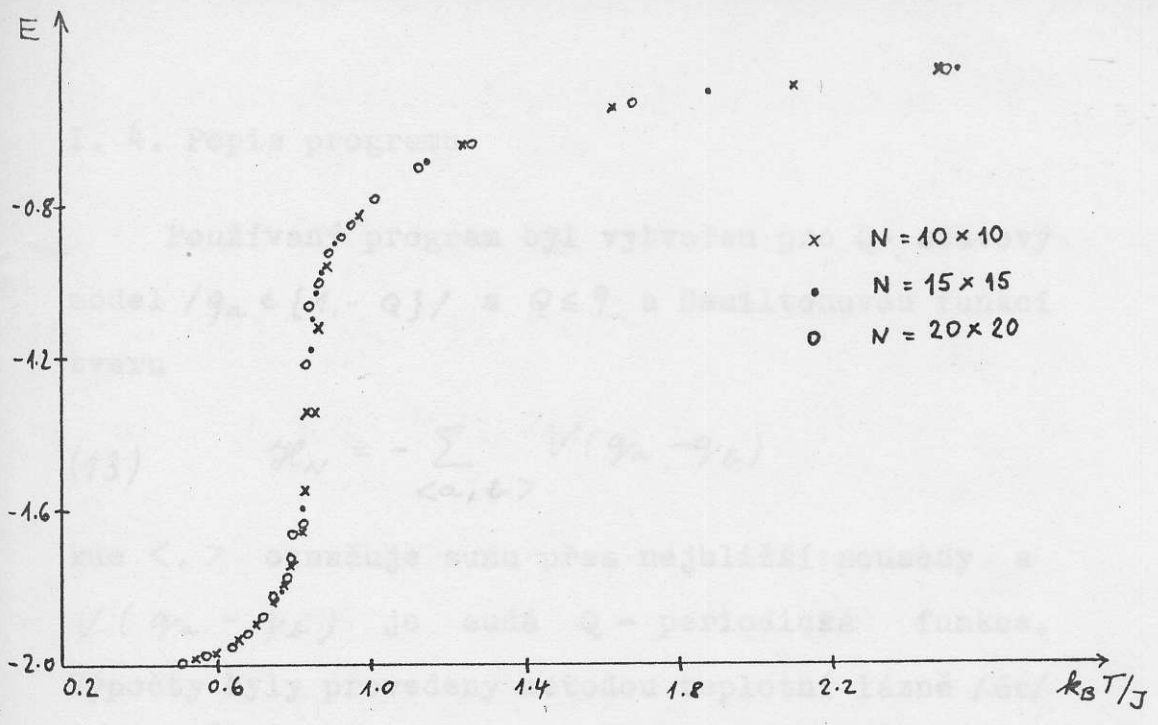
/ i přirozené / dosáhneme maximální možné periody generátoru $P/4$. Tato perioda bývá zpravidla mnohonásobně vyšší než počet prováděných MC iterací. Vhodnou volbou i a k lze zajistit i potřebné statistické vlastnosti generátoru.

/ B / Metody MC selhávají v těch oblastech teplot, kde se neúměrně prodlužují relaxační časy / například v okolí kritických teplot/. V těchto oblastech teplot nelze provést rozumné MC středování.

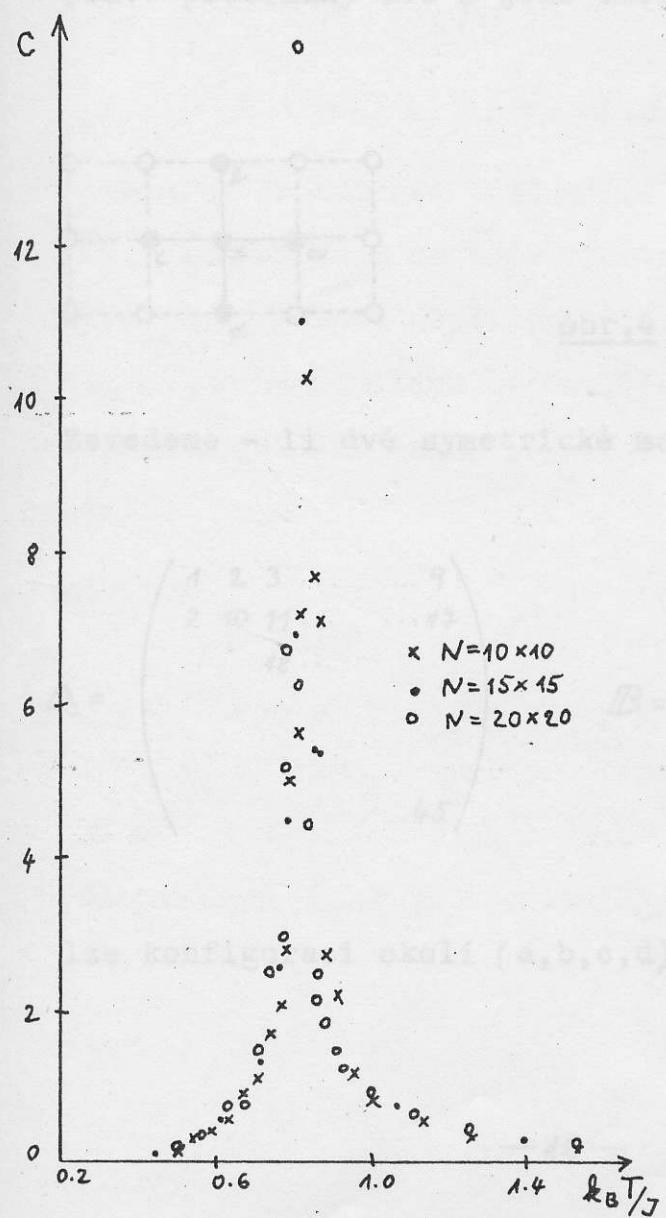
/ C / Závislost na velikosti mříže můžeme omezit vhodnou volbou okrajových podmínek / např. periodických/. Pro konečnou mříž mají všechny pozorovatelné analytické chování i tam, kde pro nekonečnou mříž divergují. Na obr. 1, 2 a 3 jsou průběhy energie, měrného tepla a susceptibility počítané metodou MC pro Pottsův model s $Q = 6$ pro mříže 10×10 , 15×15 , 20×20 s periodickou okrajovou podmínkou.

V Z obrázků je vidět, že změny průběhu energie v závislosti na velikosti mříže jsou minimální, ovšem liší se průběhy měrného tepla a susceptibility počítané pomocí korelací. Pro větší mříž jsou křivky $C(T) \sim \chi(T)$ strmější.

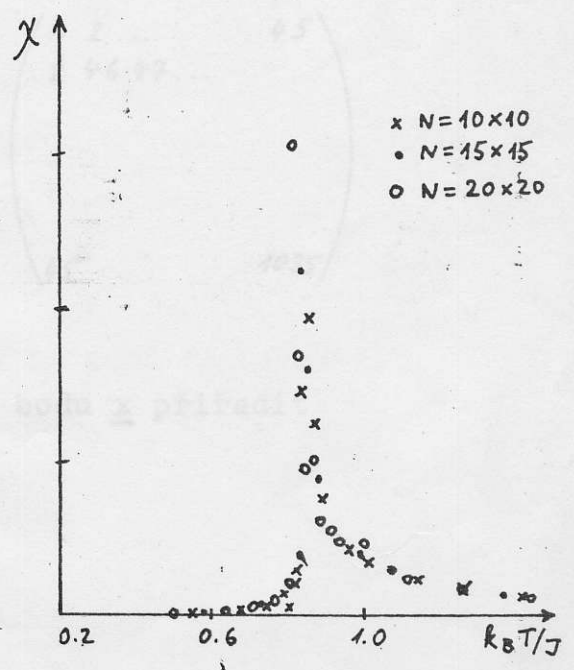
/ D / Podstatný vliv může mít to, že středujeme přes konečný časový interval Δt . V oblasti kritických teplot nemůžeme volit Δt dostatečně veliké / větší než relaxační čas/. Toto může vést k efektu hystereze při teplotním cyklu / teplota probíhá od T_{\min} do T_{\max} a zpět do T_{\min} /. Chyby způsobené středováním přes konečný časový interval jsou větší v Metropolisově metodě /6b/ než v metodě teplotní lázně / 6c/, protože metoda teplotní lázně má kratší relaxační časy / t.j. rychleji konverguje k termodynamické rovnováze/.



obr. 1 POTTŠŮV MODEL S $Q=6$



obr. 2 POTTŠŮV MODEL S $Q=6$



obr. 3 POTTŠŮV MODEL S $Q=6$

charakteristické číslo \underline{J} následujícím postupem:

$$\begin{aligned}
 J_1 &= A(q_a, q_b) \\
 (14) \quad J_2 &= A(q_c, q_d) \\
 J &= B(J_1, J_2)
 \end{aligned}$$

Číslo \underline{J} charakterizuje konfiguraci okolí vrcholu \underline{x} s využitím symetrií

$$\begin{aligned}
 \mathcal{H}_{\tilde{\Lambda}}(q_a, q_b, q_c, q_d, q_x) &= \mathcal{H}_{\tilde{\Lambda}}(q_b, q_a, q_c, q_d, q_x) \\
 (15) \quad \mathcal{H}_{\tilde{\Lambda}}(q_a, q_b, q_c, q_d, q_x) &= \mathcal{H}_{\tilde{\Lambda}}(q_a, q_b, q_d, q_c, q_x) \\
 \mathcal{H}_{\tilde{\Lambda}}(q_a, q_b, q_c, q_d, q_x) &= \mathcal{H}_{\tilde{\Lambda}}(q_c, q_d, q_a, q_b, q_x)
 \end{aligned}$$

Hamiltonovy funkce pro část mříže $\tilde{\Lambda}$ zobrazenou v obr. 4. S ohledem na tyto symetrie existuje 1035 různých konfigurací okolí vrcholu \underline{x} mříže. ($J \in \{1, 2, \dots, 1035\}$). Vzhledem k tomu, že interakce probíhá jen přes nejbližší sousedy je ve vztahu /6c/ možno psát:

$$(16) \quad w_{i \rightarrow j} = \frac{e^{-\beta \mathcal{H}_{\tilde{\Lambda}}(K_j)}}{\sum_k e^{-\beta \mathcal{H}_{\tilde{\Lambda}}(K_k)}}$$

Iravděpodobnosti $w_{i \rightarrow j}$ závisí jen na nové konfiguraci

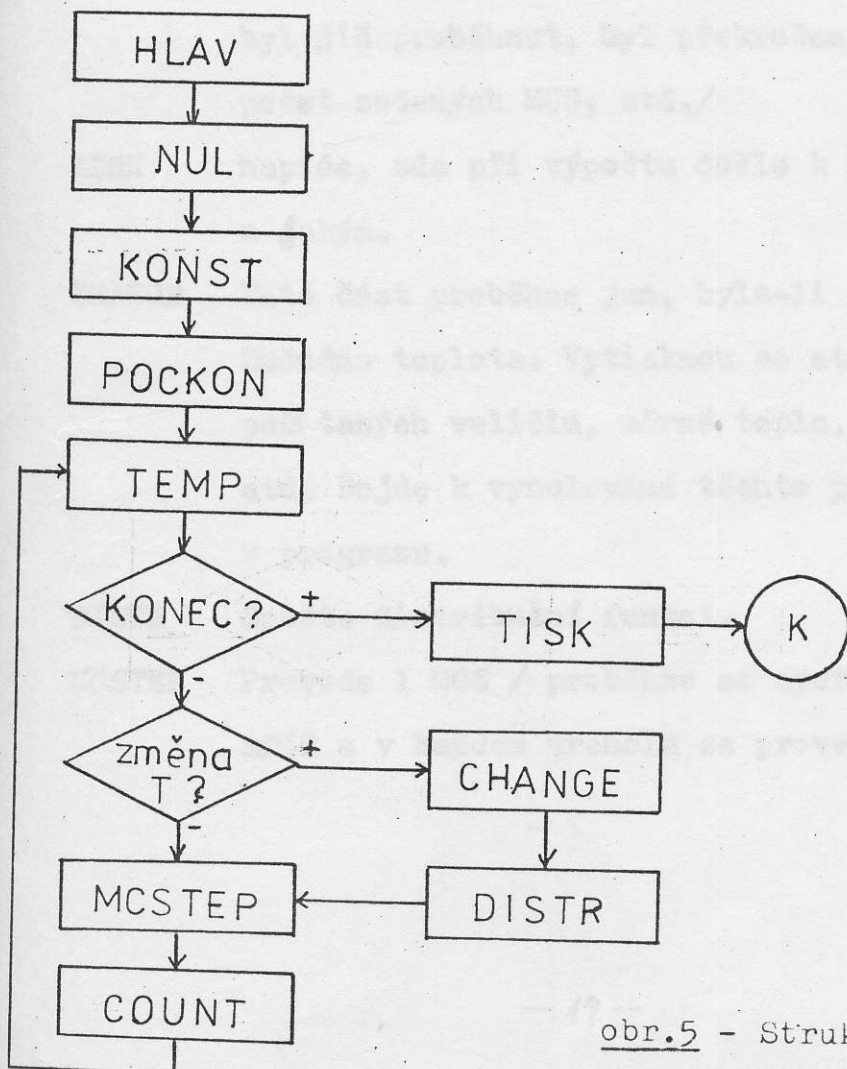
$\tilde{\Lambda}$ ve vrcholu \underline{x} a okolí (a, b, c, d) , a proto je lze předem pro danou teplotu napočítat do tabulky velikosti 1035×9 tvaru $w(J, q_x)$ $J=1, \dots, 1035$

$$q_x = 1, \dots, Q$$

Při $Q < 9$ zůstávají zbývající místa v tabulce nevyužitá. Z těchto hodnot byla v programu ještě před zahájením MC výpočtu spočtena distribuční funkce

$$(17) \quad D(J, K) = \sum_{q_x=1}^K w(J, q_x) \quad \begin{matrix} J = 1, \dots, 1035 \\ K = 1, \dots, Q \end{matrix}$$

Dále byla použita standardní MC metoda. Základní struktura programu je na obr. 5.



obr.5 - Struktura programu

Hlavní úseky programu provádí tyto úlohy :

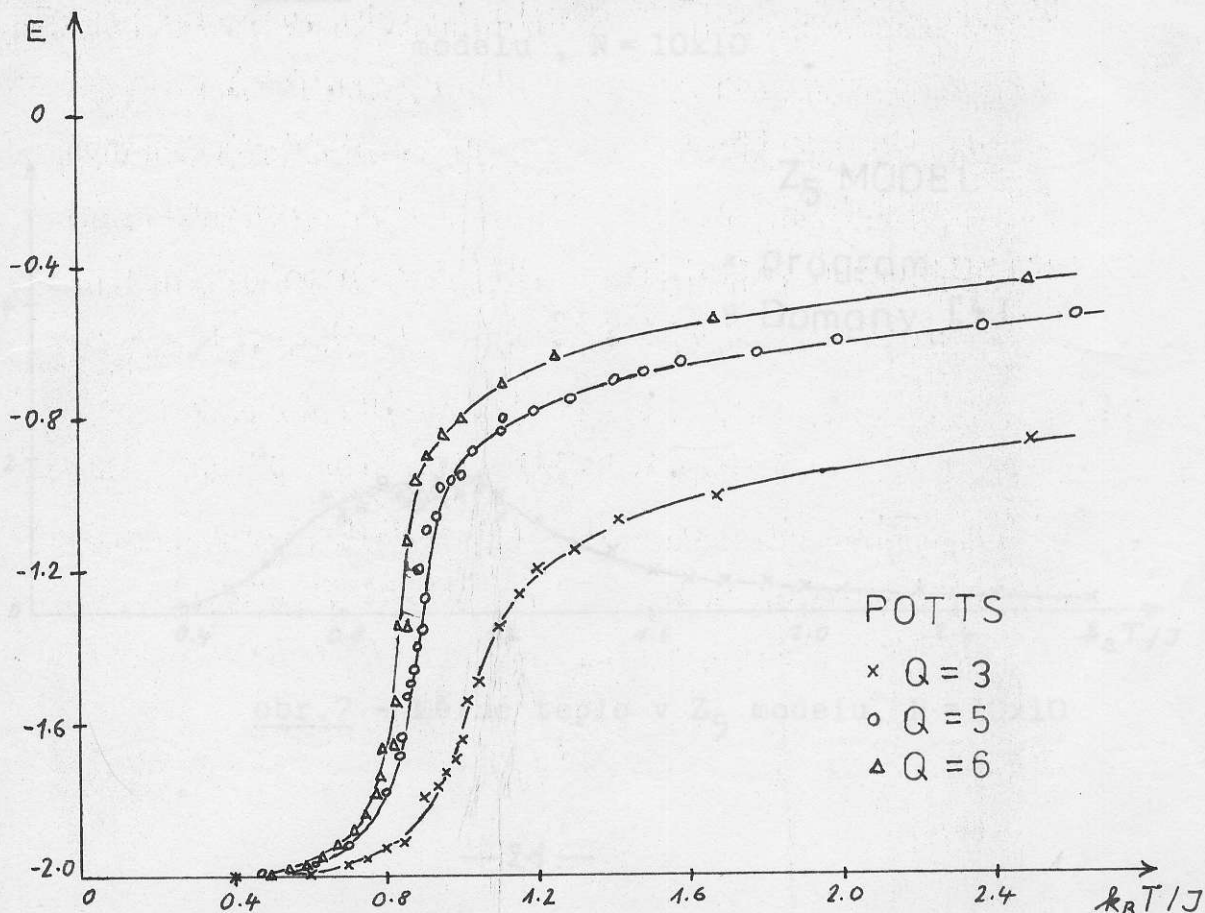
- HLAV provede úvodní tis k hlavičky
- NUL nuluje všechny proměnné a pole
- KONST zadá konstanty, matice A, B , načte a vytiskne parametry úlohy. Parametry vyjadřují např. způsob změny teploty, kolik MCS má probíhat relaxace, kolik MCS se budou počítat střední hodnoty, které proměnné se budou na mříži sledovat, atd.
- POCKON zadá počáteční konfiguraci
- TEMP po zvoleném počtu MCS změní teplotu
- KONEC rozhodne, zda má být ukončen výpočet /ve výpočtu nastala chyba, určený rozsah teplot byl již proběhnout, byl překročen maximální počet zadaných MCS, atd./
- TISK napíše, zda při výpočtu došlo k nějakým chybám a jakým.
- CHANGE Tato část proběhne jen, byla-li v části TEMP Změněna teplota. Vytisknou se střední hodnoty počítaných veličin, měrné teplo, susceptibilita atd. Dojde k vynulování těchto proměnných v programu.
- DISTR Spočte distribuční funkci.
- MCSTEP Provede 1 MCS / proběhne se systematicky celá mříž a v každém vrcholu se provede MC interace/

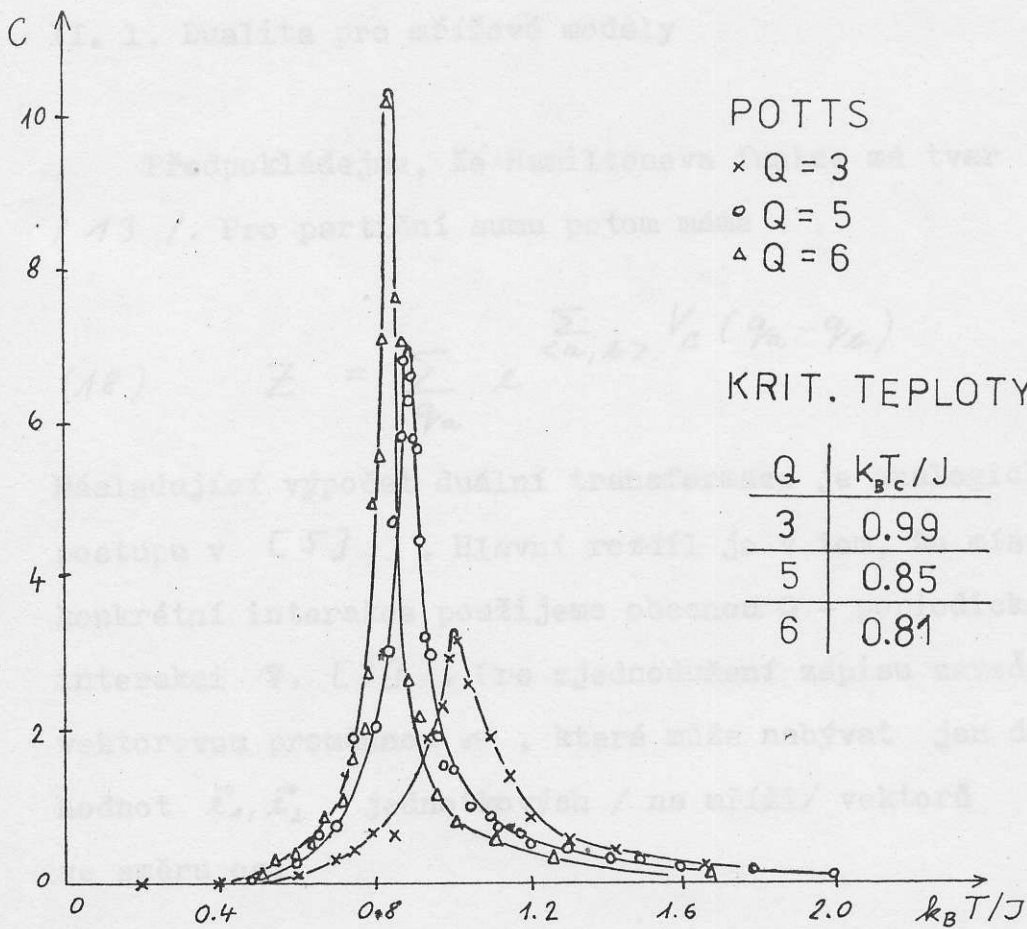
COUNT Počítá veličiny zadané načtenými parametry.
 Po zvoleném počtu kroků tiskne mříž a počítané hodnoty.

V programu byl použit multiplikativní generátor náhodných čísel $C_{n+1} = (2^{16} + 3)C_n \pmod{2^{31}}$ s periodou 2^{29} . Při výpočtech byla volena periodická okrajová podmínka a počáteční konfigurace $q_a = 1$ ve všech vrcholech a mříže.

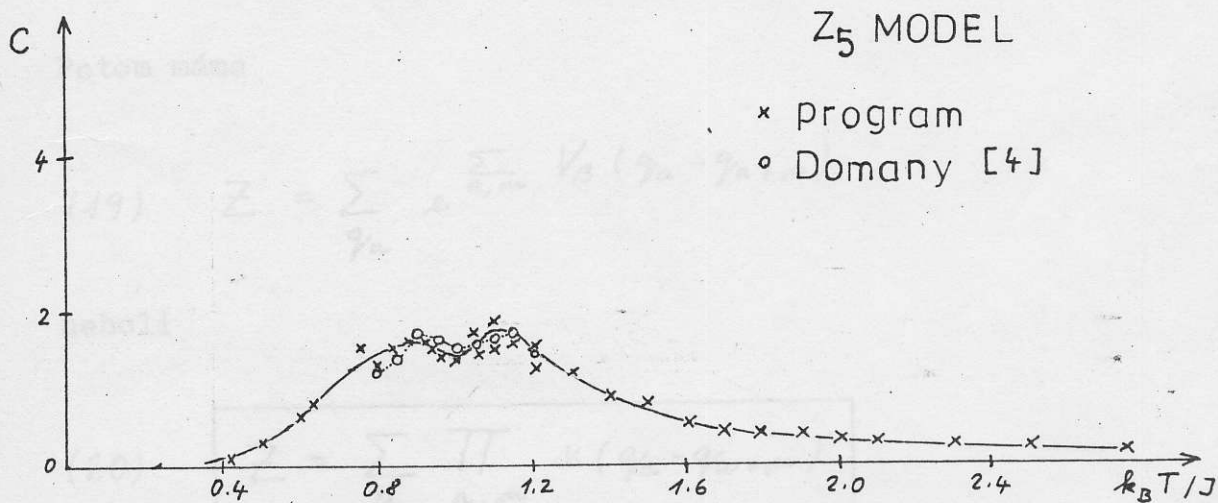
Program byl testován pomocí Pottsova modelu ($V(q_a, q_b) = J \delta_{q_a q_b}$) a Z_Q modelu ($V(q_a, q_b) = J \cos(\frac{2\pi}{Q}(q_a - q_b))$).

Výsledná závislost energie a měrného tepla na teplotě pro Pottsův model s $Q = 3, 5, 6$ je na obr. 6. Tvar křivek dobře souhlasí s teoreticky spočtenými kritickými teplotami. Na obr. 7 je výsledek MC výpočtu měrného tepla modelu Z_5 v porovnání s obdobným výpočtem provedeným v [4].





obr.6 - Měrné teplo a energie v Pottsově modelu, $N = 10 \times 10$



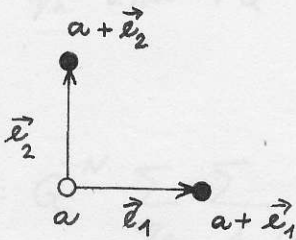
obr.7 - Měrné teplo v Z_5 modelu, $N = 10 \times 10$

II. 1. Dualita pro mřížové modely

Předpokládejme, že Hamiltonova funkce má tvar / 13 /. Pro partiční sumu potom máme

$$(18) \quad Z = \sum_{q_a} e^{\sum_{\langle a,b \rangle} V_B (q_a - q_b)}$$

Následující výpočet duální transformace je analogický postupu v [5]. Hlavní rozdíl je v tom, že místo konkrétní interakce použijeme obecnou Q - periodickou interakci V. [3]. Pro zjednodušení zápisu zavedme vektorovou proměnnou μ , která může nabývat jen dvou hodnot \vec{e}_1, \vec{e}_2 jednotkových / na mříži / vektorů ve směru os:



obr.8 - Význam zápisu $a + \mu$

Potom máme

$$(19) \quad Z = \sum_{q_a} e^{\sum_{a,\mu} V_B (q_a - q_{a+\mu})}$$

neboli

$$(20) \quad Z = \sum_{q_a} \prod_{a,\mu} \chi(q_a - q_{a+\mu})$$

kde $x(r) \equiv x_r = \ell^{\sqrt{\beta}(r)}$ je Q -periodická sudá funkce
s hodnotami: x_0, x_1, \dots, x_{Q-1}

Fourierův rozvoj pro $x_r(\beta)$ má tvar

$$(21a) \quad x_r = \frac{1}{\sqrt{Q}} \sum_{s=0}^{Q-1} \tilde{x}_s \ell^{i \frac{2\pi}{Q} rs}$$

$$(21b) \quad \tilde{x}_s = \frac{1}{\sqrt{Q}} \sum_{r=0}^{Q-1} x_r \ell^{-i \frac{2\pi}{Q} sr}$$

Dosaďme-li Fourierův rozvoj do partiční sumy a provedeme-li následující úpravy, dostaneme:

$$Z = \sum_{q_a} \prod_{a, \alpha} \frac{1}{\sqrt{Q}} \sum_{s=0}^{Q-1} \tilde{x}_s \ell^{i \frac{2\pi}{Q} (q_a - q_{a+\alpha}) s} =$$

$$= Q^{-N} \sum_{q_a} \sum_{s_{\alpha}(a)} \left(\prod_{a, \alpha} \tilde{x}_{s_{\alpha}(a)} \right) \ell^{\sum_{a, \alpha} i \frac{2\pi}{Q} (q_a - q_{a+\alpha}) s_{\alpha}(a)} =$$

$$= Q^{-N} \sum_{s_{\alpha}(a)} \left(\prod_{a, \alpha} \tilde{x}_{s_{\alpha}(a)} \right) \sum_{q_a} \ell^{\sum_a i \frac{2\pi}{Q} q_a \sum_{\alpha} \nu_{\alpha} s_{\alpha}(a)} =$$

$$= Q^{-N} \sum_{s_{\alpha}(a)} \left(\prod_{a, \alpha} \tilde{x}_{s_{\alpha}(a)} \right) \prod_a \sum_{q=1}^Q \ell^{i \frac{2\pi}{Q} q \sum_{\alpha} \nu_{\alpha} s_{\alpha}(a)} =$$

$$= \sum_{s_{\alpha}(a)} \left(\prod_{a, \alpha} \tilde{x}_{s_{\alpha}(a)} \right) \prod_a \delta_{0, \sum_{\alpha} \nu_{\alpha} s_{\alpha}(a) \pmod{Q}}$$

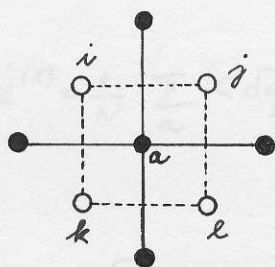
Operátor ∇_m má tento význam:

$$(22) \quad \nabla_m f(a) = f(a) - f(a-m)$$

Omezení $\sum_m \nabla_m s_m(a) = 0 \pmod{Q}$ lze řešit tak, že položíme

$$(23) \quad s_m(a) = (n_i - n_j) \pmod{Q},$$

kde i, j jsou body na duální mříži, jejichž spojnice protíná hranu $(a, a+m)$ původní mříže a $n_i \in \{1, 2, \dots, Q\}$:



$$\left. \begin{aligned} s_1(a) &= n_i - n_j \\ s_1(a - \vec{e}_1) &= n_k - n_i \end{aligned} \right\} \Rightarrow \nabla_1 s_1 = n_i - n_j - n_k + n_i$$

$$\left. \begin{aligned} s_2(a) &= n_j - n_i \\ s_2(a - \vec{e}_2) &= n_l - n_k \end{aligned} \right\} \Rightarrow \nabla_2 s_2 = n_j - n_i - n_l + n_k$$

obr.9 - Řešení omezení $\nabla_1 s_1 + \nabla_2 s_2 = 0$

Konečný vztah pro partiční sumu tedy je

$$(24) \quad Z = \sum_{m_i} \prod_{\langle i, j \rangle} \tilde{x}_{m_i - m_j}$$

Porovnáním /20/ a /24/ vidíme, že model /13/ je duální s modelem, ve kterém je x_r nahrazeno \tilde{x}_r podle vztahu /21/.

II. 2. Pottsův model ve dvou dimenzích

Pottsův dvoudimenzionální model je Q - stavový model s interakcí danou Hamiltonovou funkcí

$$(25) \quad \mathcal{H}_N = -J \sum_{\langle a,b \rangle} \delta_{q_a, q_b} \quad q_a \in \{1, 2, \dots, Q\}$$

Spin s hodnotou $q_a = j$ si můžeme představit jako jednotkový vektor ve směru daném úhlem $\frac{2\pi}{Q} j$. Zaveďme pro náš systém následující nejčastěji používané charakteristické veličiny [2, 7, 9]:

$$N_j = \sum_a \delta_{q_a, j}$$

$$M^{(1)} = \frac{1}{N} \sum_a \langle \delta_{q_a, 1} \rangle$$

$$m_a = \delta_{q_a, 1}$$

$$\chi^{(1)} = \frac{\beta}{N} (\langle N_1^2 \rangle - \langle N_1 \rangle^2)$$

$$\chi = \frac{\beta}{NQ} \sum_j (\langle N_j^2 \rangle - \langle N_j \rangle^2)$$

$$G(\mathbf{x}) = \langle m_a m_b \rangle - \langle m_a \rangle \langle m_b \rangle$$

$$\xi^{-1} = m = - \lim_{x \rightarrow \infty} \frac{\ln G(x)}{x}$$

$$E = -J/N \cdot \sum_{\langle a,b \rangle} \delta_{q_a, q_b}$$

$$C = N(\beta J)^2 (\langle E^2 \rangle - \langle E \rangle^2)$$

počet vrcholů mříže se spinem orientovaným ve směru j
magnetizace na vrchol mříže ve směru $\underline{1}$ / parametr uspořádání /

okamžitá magnetizace ve vrcholu \underline{a}

isotermální susceptibilita ve směru $\underline{1}$ na vrchol mříže
celková isotermální susceptibilita na vrchol mříže

korelace ($\mathbf{x} = |a-b|$)

ξ ... korelační délka

m ... inverzní kor. délka

/ hmotnost /

energie na vrchol mříže

měrné teplo

Veličina ξ má význam charakteristického rozměru fluktuací systému. Pro dosti velká $x=|a-b|$ mimo T_c korelace $G(x)$ ubývá exponenciálně : $G(x) \sim e^{-mx}$. V kritické teplotě je inverzní korelační délka nulová, veličiny χ , ξ , C mocninně divergují. Tedy v okolí kritické teploty

$$(26) \quad C(T) \sim \left(1 - \frac{T}{T_c}\right)^{-\alpha}$$

$$(27) \quad M^{(1)}(T) \sim \left(1 - \frac{T}{T_c}\right)^{+\beta}$$

$$(28) \quad \chi(T) \sim \left(1 - \frac{T}{T_c}\right)^{-\gamma}$$

$$(29) \quad \xi(T) \sim \left(1 - \frac{T}{T_c}\right)^{-\nu}$$

kde $\alpha, \beta, \gamma, \nu$ se nazývají kritické koeficienty. V jejich definici je nutné odlišit, ze které fáze se ke kritické teplotě blížíme.

Pottsův model má jediný fázový přechod v $\beta_c = \ln(1+\sqrt{Q})/J$ / viz dále /. Nízkoteplotní fáze je uspořádaná hmotná fáze s narušenou Z_Q symetrií. Uspořádání probíhá na velké vzdálenosti / t. zv. long range order /. Vysokoteplotní fáze je neuspořádaná hmotná fáze s neporušenou Z_Q symetrií. V obou fázích tedy dochází k exponenciálnímu poklesu korelací se vzdáleností, pouze v T_c korelace ubývají s jistou mocninou vzdálenosti / algebraicky / .

Kritickou teplotu můžeme určit pomocí duální transformace /20-24/. Snadno zjistíme

$$\chi_0 = e^{\beta J}$$

$$\chi_i = 1 \quad i = 1, 2, \dots, Q-1, \quad \chi_j$$

$$(30) \quad \omega(\beta) \equiv \frac{x_i}{x_0} = e^{-\beta J}$$

Partiční suma je jen funkcí ω : $Z = Z(\omega)$

Transformované veličiny mají tvar :

$$\tilde{x}_0 = \frac{1}{\sqrt{Q}} (e^{\beta J} + Q - 1)$$

$$\tilde{x}_i = \frac{1}{\sqrt{Q}} (e^{\beta J} - 1)$$

$$(31) \quad \tilde{\omega}(\beta) \equiv \frac{\tilde{x}_i}{\tilde{x}_0} = \frac{e^{\beta J} - 1}{e^{\beta J} + Q - 1}$$

Pottsův model je tedy selfduální jestliže položíme

$$\tilde{\omega}(\beta) = \omega(\tilde{\beta}) \quad , \quad \beta \tilde{\beta} = J$$

$$(32) \quad \tilde{\beta} = \ln \frac{e^{\beta J} + Q - 1}{e^{\beta J} - 1}$$

Předpokládáme -li existenci jediného fázového přechodu je $\tilde{\beta}_c = \beta_c$ a z /32/ vypočteme

$$(33) \quad J\beta_c = \ln(1 + \sqrt{Q})$$

Typické konfigurace v jednotlivých fázích a průběhy $E(T)$, $C(T)$ a $\chi(T)$ jsou znázorněny v kapitole III.

II.3. Z_Q model ve dvou dimenzích

Z_Q modelem nazýváme model s interakcí danou Hamiltonovou funkcí

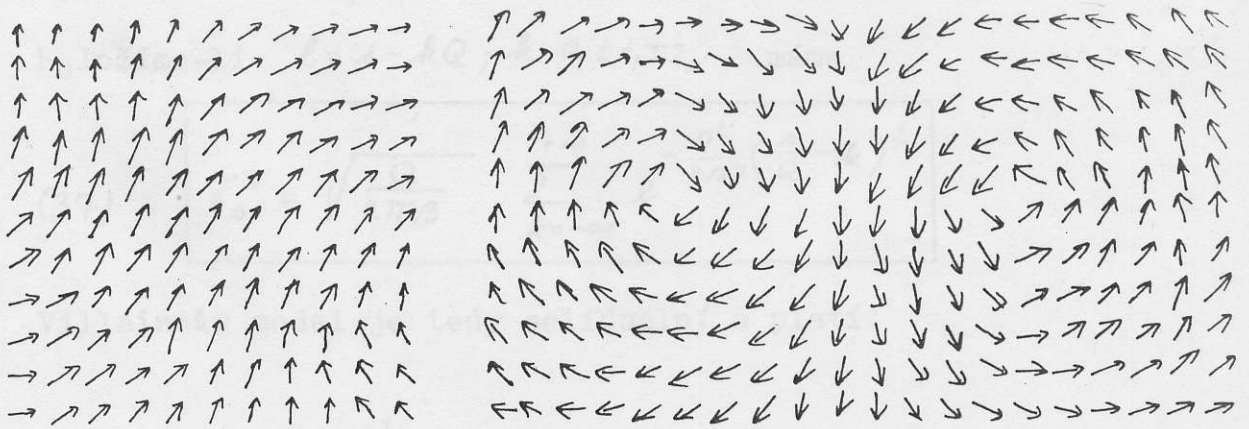
$$(34) \quad \mathcal{H}_N = -J \sum_{\langle a,b \rangle} \cos \frac{2\pi}{Q} (q_a - q_b) \quad q_a \in \{1, \dots, Q\}$$

Veličiny charakterizující systém zavádíme analogicky jako pro Pottsův model. Magnetizaci ve směru \underline{l} rozumíme:

$$(35) \quad M^{(l)} = \frac{1}{N} \left\langle \sum_{i=1}^Q N_i \cos \frac{2\pi}{Q} (i-1) \right\rangle$$

Pro $Q \leq 4$ má Z_Q model jediný fázový přechod. Nízkoteplotní i vysokoteplotní fáze mají podobné chování jako v Pottsově modelu. Pro $Q > 4$ má Z_Q model dva fázové přechody v teplotách T_c a T_k ($T_c < T_k$).

Mezi nízkoteplotní hmotnou uspořádanou fází ($T < T_c$) a vysokoteplotní hmotnou neuspořádanou fází ($T > T_k$) se objevuje střední fáze ($T \in (T_c, T_k)$). Střední fáze je nehmotná ($m = 0$) a tedy korelace klesají se vzdáleností algebraicky - stupeň mocniny se spojitě mění s teplotou / t. zv. "soft" chování /. Střední fáze Z_Q modelu je velmi podobná nízkoteplotní fázi ve spojitém Z_{XY} modelu, která je charakteristická pomalu se měnícími konfiguracemi - například typickými dvojicemi vírů.



obr.10 - Typické spin od spinu se pomalu měnící / tj. s nízkou energií / konfigurace nízkoteplotní fáze Z_{XY} [12,13]

S rostoucím Q $T_c \rightarrow 0$ a $T_K \rightarrow T_K$. Uspořádaná nízkoteplotní fáze zaniká a Z_Q model přechází v spojité model Z_{XY} s jediným Kosterlitz - Thoulessovým fázovým přechodem T_K . Odvození těchto vlastností je v [5] provedeno na základě rozboru chování selfduálního Villainova modelu s interakcí

$$(36) \quad \chi_n^V = \sum_{m=-\infty}^{+\infty} e^{-2\pi^2 \beta J \left(\frac{n}{Q} - m\right)^2}$$

Provedeme-li Fourierův rozvoj funkce χ_n^V máme

$$\chi_n^V = \frac{1}{\sqrt{2\pi\beta J}} \sum_{l=-\infty}^{+\infty} e^{-\frac{l^2}{2\beta J}} e^{i \frac{2\pi l}{Q} n}$$

Z duální transformace máme [21]

$$\begin{aligned} \tilde{\chi}_s^V &= \frac{1}{\sqrt{2\pi\beta QJ}} \sum_{l=-\infty}^{+\infty} \sum_{r} e^{-\frac{l^2}{2\beta J}} e^{i \frac{2\pi r}{Q} (l-s)} \\ &= \sqrt{\frac{Q}{2\pi\beta J}} \sum_{l=-\infty}^{+\infty} e^{-\frac{l^2}{2\beta J}} \delta_{0, l-s \pmod{Q}} \end{aligned}$$

Položíme-li $l = s - kQ$; $k = 0, \pm 1, \pm 2, \dots$ máme

$$(37) \quad \tilde{\chi}_s^V = \sqrt{\frac{Q}{2\pi\beta}} \sum_{k=-\infty}^{+\infty} e^{-\frac{Q^2}{2\beta J} \left(\frac{s}{Q} - k\right)^2}$$

Villainův model je tedy selfduální a platí

$$(38) \quad \tilde{\beta}\beta = \frac{Q^2}{4\pi^2 J^2}$$

Ve Villainově modelu tedy kritické inverzní teploty splňují $\beta_c^V \beta_k^V = \frac{Q^2}{4\pi^2 J^2}$. V [5] jsou uvedeny důvody, proč se ve Villainově modelu objevuje střední fáze a na základě nerovností analogických GKS ukázáno, že tato fáze zůstane zachována i v Z_Q .

II.4. Z_Q^P model

Z_Q^P modelem nazvěme model s interakcí danou Hamiltonovou funkcí

$$(39) \quad \mathcal{H}_N = -\frac{J}{P} \sum_{\langle a, b \rangle} \sum_{k=1}^P \cos \frac{2\pi k}{Q} (q_a - q_b) \quad q_a \in \{1, \dots, Q\} \\ P \leq Q$$

Pro $P=Q$ přejde \mathcal{H}_N v Hamiltonovu funkci Pottsova modelu a pro $P=1$ v Hamiltonovu funkci Z_Q modelu. Magnetizaci ve směru \underline{l} na vrchol mříže lze definovat takto :

$$(40) \quad M^{(1)} = \frac{1}{NP} \sum_{k=1}^P \sum_{i=1}^Q \langle N_i \cos \frac{2\pi k}{Q} (i-1) \rangle$$

Tento vztah při $P=Q$ resp. $P=1$ opět přejde ve vztah pro Pottsův resp. Z_Q model. Ostatní veličiny volíme analogicky jako pro Pottsův model. Model Z_Q^P se pro různá P zdá být přirozeným přechodem mezi Z_Q a Pottsovým modelem. Z duální transformace /20 -24/ máme

$$(41) \quad x_n = e^{\frac{\beta J}{P} \sum_{k=1}^P \cos \frac{2\pi k r}{Q}} \quad r = 0, 1, \dots, Q-1$$

$$(42) \quad \tilde{x}_s = \frac{1}{\sqrt{Q}} \sum_{r=0}^{Q-1} e^{\frac{\beta J}{P} \sum_{k=1}^P \cos \frac{2\pi k r}{Q} - i \frac{2\pi}{Q} s r} e$$

$$s = 0, 1, \dots, Q-1$$

Opět můžeme zavést veličiny

$$(43) \quad w_n = \frac{x_n}{x_0} = e^{-\beta J} x_n \quad n = 0, 1, \dots, Q-1$$

$$(44) \quad \tilde{w}_n = \frac{\tilde{x}_n}{\tilde{x}_0} \quad n = 0, 1, \dots, Q-1$$

Vidíme, že model Z_Q^P není obecně selfduální. Snadno se lze přesvědčit, že ani obdobné zobecnění Villainova modelu V_Q na V_Q^P není selfduální. Nelze tedy provést důkaz existence střední fáze analogickým způsobem jako v [5]. To ovšem možnost existence střední fáze nevylučuje. Například v [1,3] uvažují o existenci střední fáze pro všechny modely s Q periodickou interakcí pro $Q \leq 5$.

Ze vztahu /43,44/ pomocí /41,42/ byly pro model Z_6^P vypočteny veličiny w_n, \tilde{w}_s . Výsledné hodnoty jsou seřazeny v tabulce 1. Z tabulky je patrné, že kromě Pottsova modelu Z_6^6 je selfduální i Z_6^5 model položíme -li

$$(45) \quad e^{-6\tilde{\beta}J/5} = \frac{e^{\beta J} - e^{-\beta J/5}}{e^{\beta J} + 5e^{-\beta J}}, \text{ neboli}$$

$$(46) \quad \tilde{\beta}J = \frac{5}{6} \ln \frac{e^{\beta J} + 5e^{-\beta J}}{e^{\beta J} - e^{-\beta J/5}}$$

Z /45/ můžeme určit selfduální bod $\tilde{\beta} = \beta$:

$$e^{-6\beta J/5} = \frac{e^{\beta J} - e^{-\beta J/5}}{e^{\beta J} + 5e^{-\beta J}} \Rightarrow$$

$$5e^{-12\beta J/5} + 2e^{-6\beta J/5} - 1 = 0$$

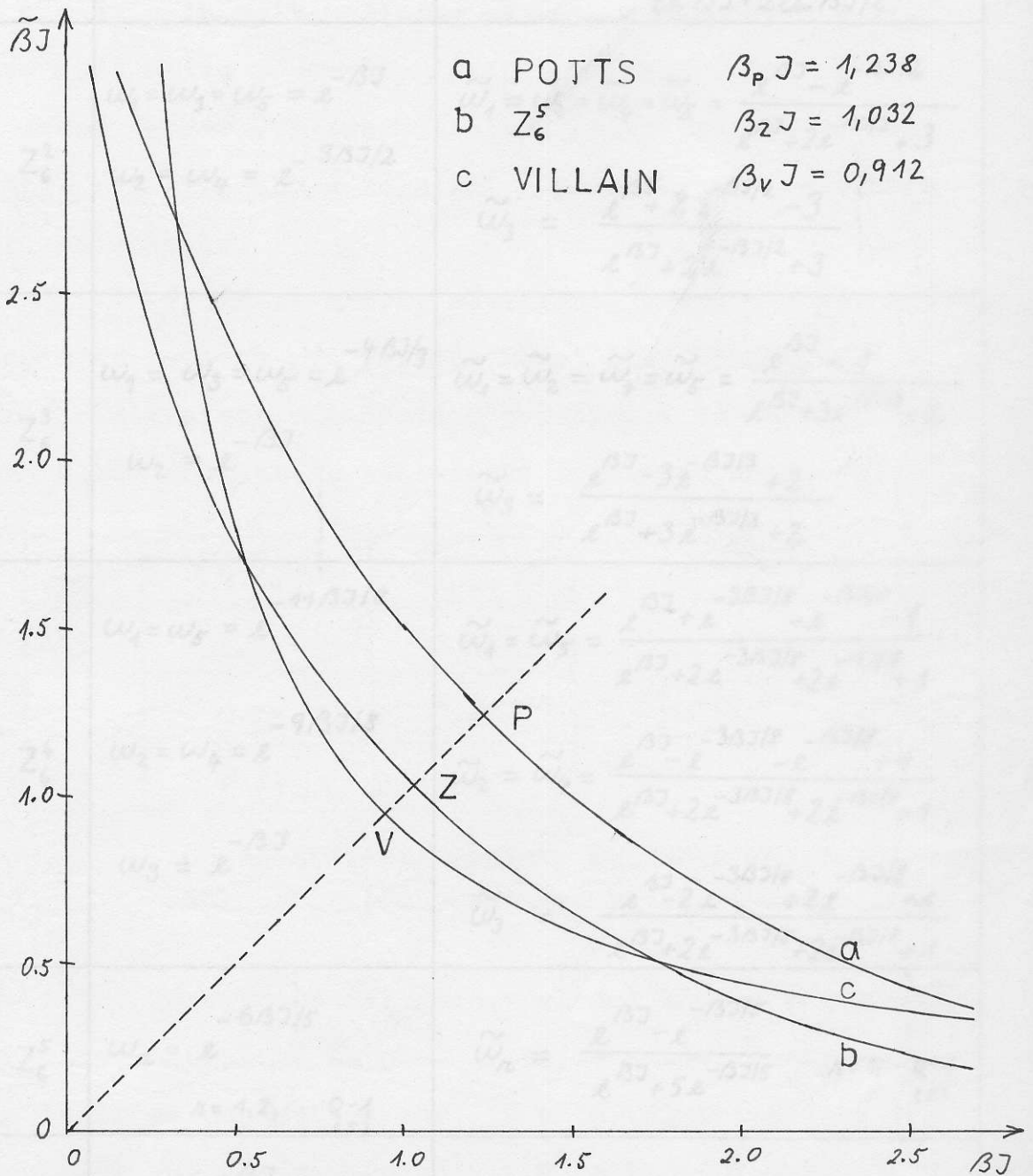
a ze substituce $y = e^{-6\beta J/5}$ máme

$$5y^2 + 2y - 1 = 0 \Rightarrow$$

$$y = \frac{-1 + \sqrt{6}}{5}, \text{ tedy}$$

$$(47) \quad \beta_{\text{DUAL}} J = \frac{5}{6} \ln \frac{5}{-1+\sqrt{6}} \approx 1,032$$

Selfduální linie 6-ti stavového Pottssova, Villainova a Z_6^5 modelu jsou vyneseny ze vztahů /32/, /38/, /46/ do grafu na obr. 11 .



obr. 11 - Selfdualita 6-ti stavových modelů

Model	ω_n	$\tilde{\omega}_n$
Z_6^1	$\omega_1 = \omega_5 = e^{-\beta J/2}$ $\omega_2 = \omega_4 = e^{-3\beta J/2}$ $\omega_3 = e^{-2\beta J}$	$\tilde{\omega}_1 = \tilde{\omega}_5 = \frac{\text{sh } \beta J + \text{sh } \beta J/2}{\text{ch } \beta J + 2 \text{ch } \beta J/2}$ $\tilde{\omega}_2 = \tilde{\omega}_4 = \frac{\text{ch } \beta J - \text{ch } \beta J/2}{\text{ch } \beta J + 2 \text{ch } \beta J/2}$ $\tilde{\omega}_3 = \frac{\text{sh } \beta J - 2 \text{sh } \beta J/2}{\text{ch } \beta J + 2 \text{ch } \beta J/2}$
Z_6^2	$\omega_1 = \omega_3 = \omega_5 = e^{-\beta J}$ $\omega_2 = \omega_4 = e^{-3\beta J/2}$	$\tilde{\omega}_1 = \tilde{\omega}_2 = \tilde{\omega}_4 = \tilde{\omega}_5 = \frac{e^{\beta J} - e^{-\beta J/2}}{e^{\beta J} + 2e^{-\beta J/2} + 3}$ $\tilde{\omega}_3 = \frac{e^{\beta J} + 2e^{-\beta J/2} - 3}{e^{\beta J} + 2e^{-\beta J/2} + 3}$
Z_6^3	$\omega_1 = \omega_3 = \omega_5 = e^{-4\beta J/3}$ $\omega_2 = e^{-\beta J}$	$\tilde{\omega}_1 = \tilde{\omega}_2 = \tilde{\omega}_4 = \tilde{\omega}_5 = \frac{e^{\beta J} - 1}{e^{\beta J} + 3e^{-\beta J/3} + 2}$ $\tilde{\omega}_3 = \frac{e^{\beta J} - 3e^{-\beta J/3} + 2}{e^{\beta J} + 3e^{-\beta J/3} + 2}$
Z_6^4	$\omega_1 = \omega_5 = e^{-11\beta J/8}$ $\omega_2 = \omega_4 = e^{-9\beta J/8}$ $\omega_3 = e^{-\beta J}$	$\tilde{\omega}_1 = \tilde{\omega}_5 = \frac{e^{\beta J} + e^{-3\beta J/8} - e^{-\beta J/8} - 1}{e^{\beta J} + 2e^{-3\beta J/8} + 2e^{-\beta J/8} + 1}$ $\tilde{\omega}_2 = \tilde{\omega}_4 = \frac{e^{\beta J} - e^{-3\beta J/8} - e^{-\beta J/8} + 1}{e^{\beta J} + 2e^{-3\beta J/8} + 2e^{-\beta J/8} + 1}$ $\tilde{\omega}_3 = \frac{e^{\beta J} - 2e^{-3\beta J/8} + 2e^{-\beta J/8} - 1}{e^{\beta J} + 2e^{-3\beta J/8} + 2e^{-\beta J/8} + 1}$
Z_6^5	$\omega_n = e^{-6\beta J/5}$ $n = 1, 2, \dots, Q-1$ (5)	$\tilde{\omega}_n = \frac{e^{\beta J} - e^{-\beta J/5}}{e^{\beta J} + 5e^{-\beta J/5}} \quad n = 1, \dots, Q-1$ (5)
Z_6^6	$\omega_n = e^{-\beta J}$ $n = 1, 2, \dots, Q-1$ (5)	$\tilde{\omega}_n = \frac{e^{\beta J} - 1}{e^{\beta J} + 5} \quad n = 1, 2, \dots, 5$

Tab.1 - Dualita Z_6^P modelu

III. 1. MC simulace průběhu $E(T)$ a $C(T)$.

Z_Q model

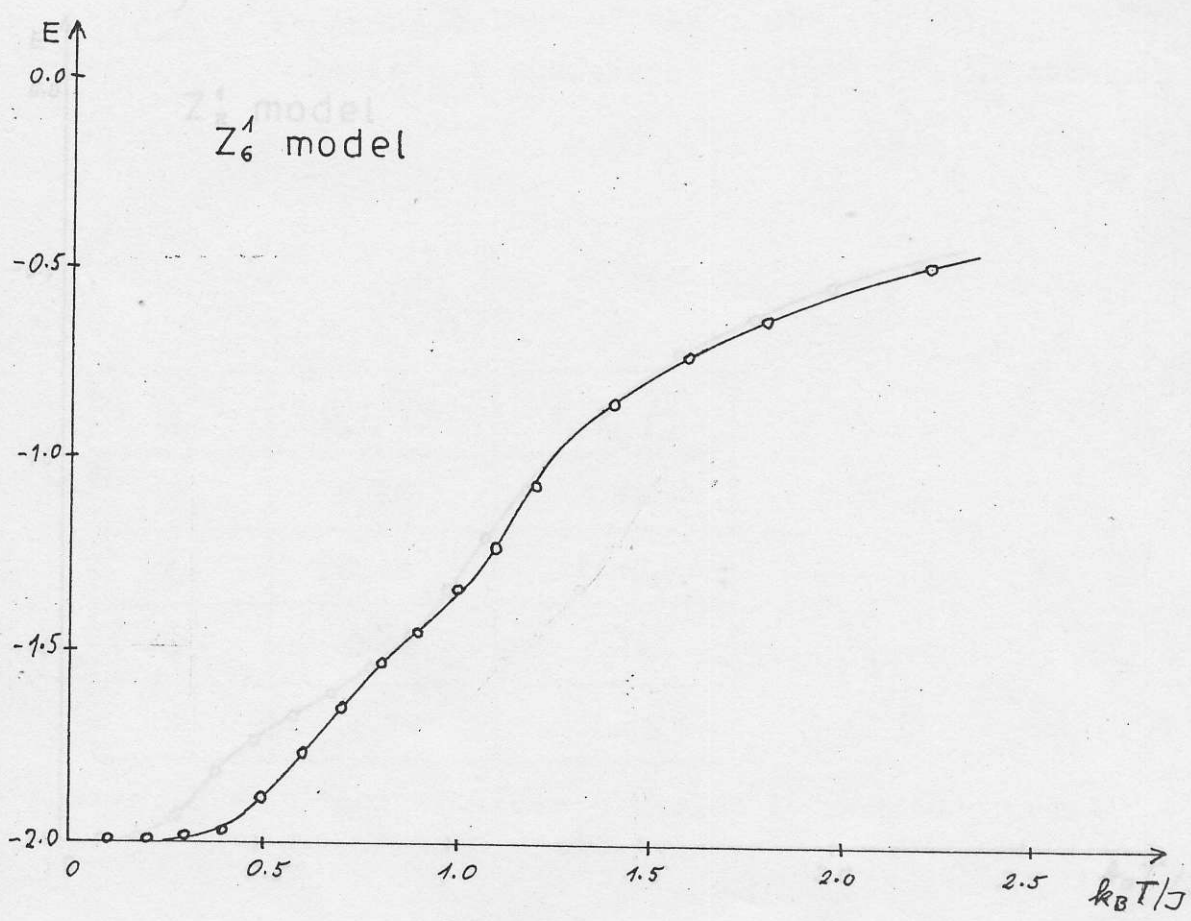
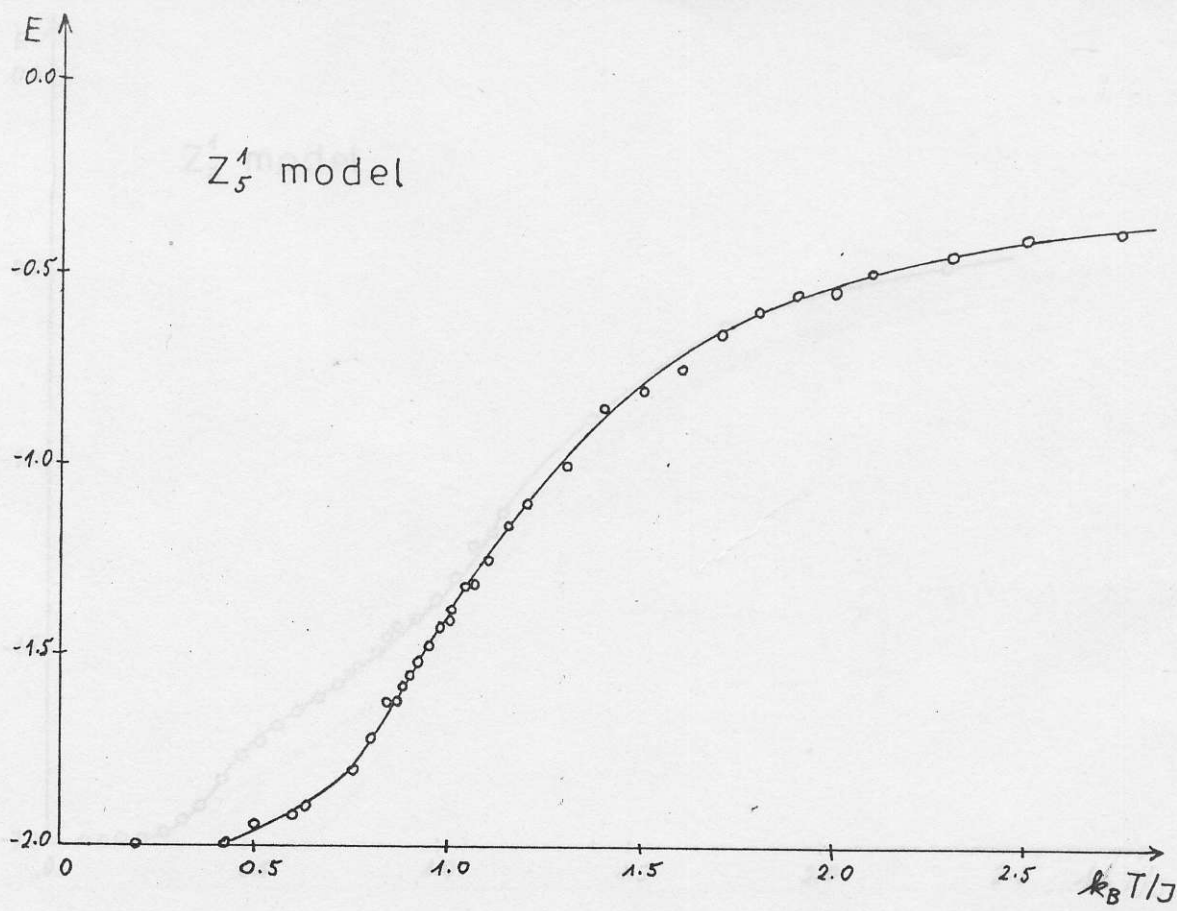
MC simulace byla prováděna výše popsaným programem / metodou teplotní lázně / na počítači EC 1040 ve VC UK . Za počáteční konfiguraci byla volena konfigurace s $q_a = 1$ ve všech vrcholech a mříže. Energie i měrné teplo byly počítány ze vztahů uvedených v II.2 pro malé mříže s rozměry 10×10 až 20×20 . Na všech grafech je ve vzájemném souladu poloha maxima měrného tepla / počítaného z korelací / s velikostí směrnice křivky energie.

Výsledné křivky závislosti energie a měrného tepla na teplotě pro Pottsův model jsou na obr. 6. Kritická teplota odhadnutá z polohy maxima měrného tepla dobře souhlasí s teoreticky spočtenou hodnotou :

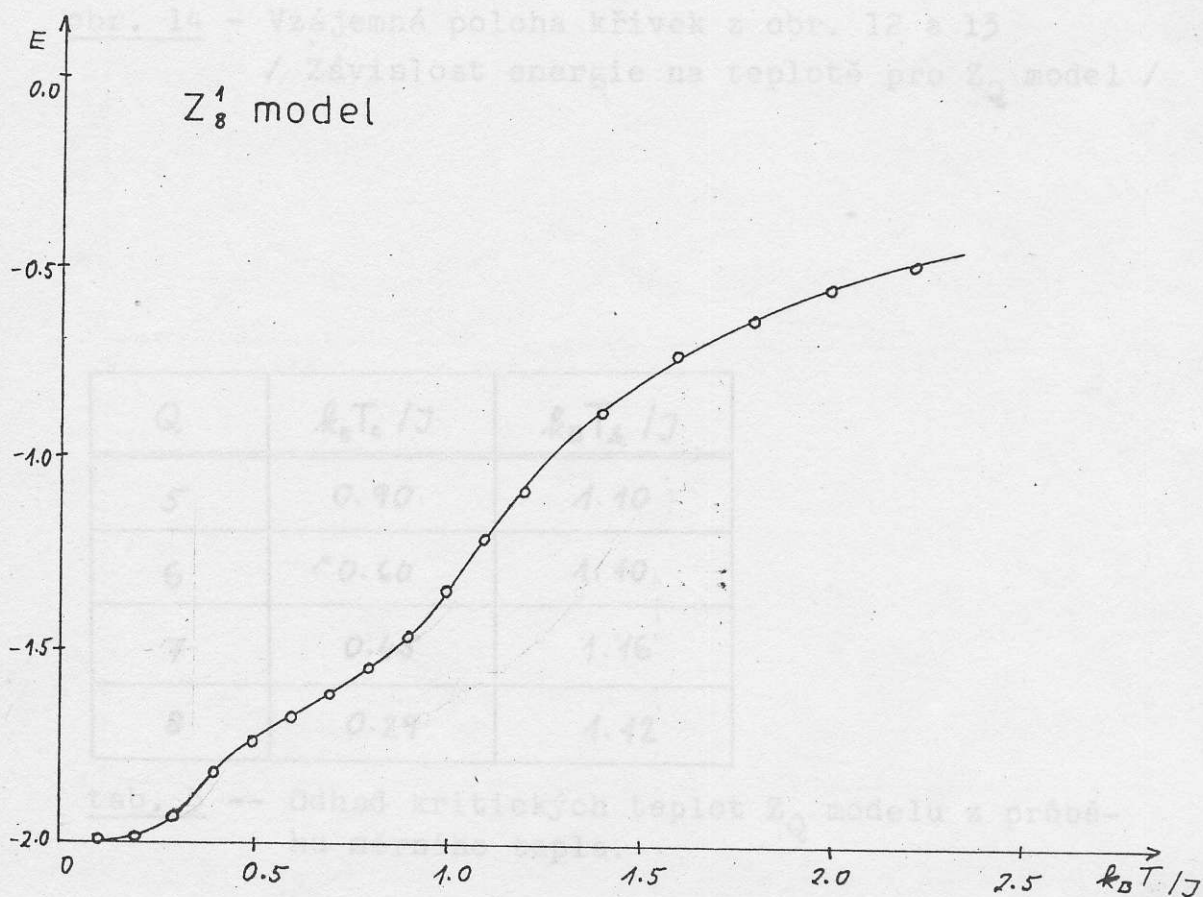
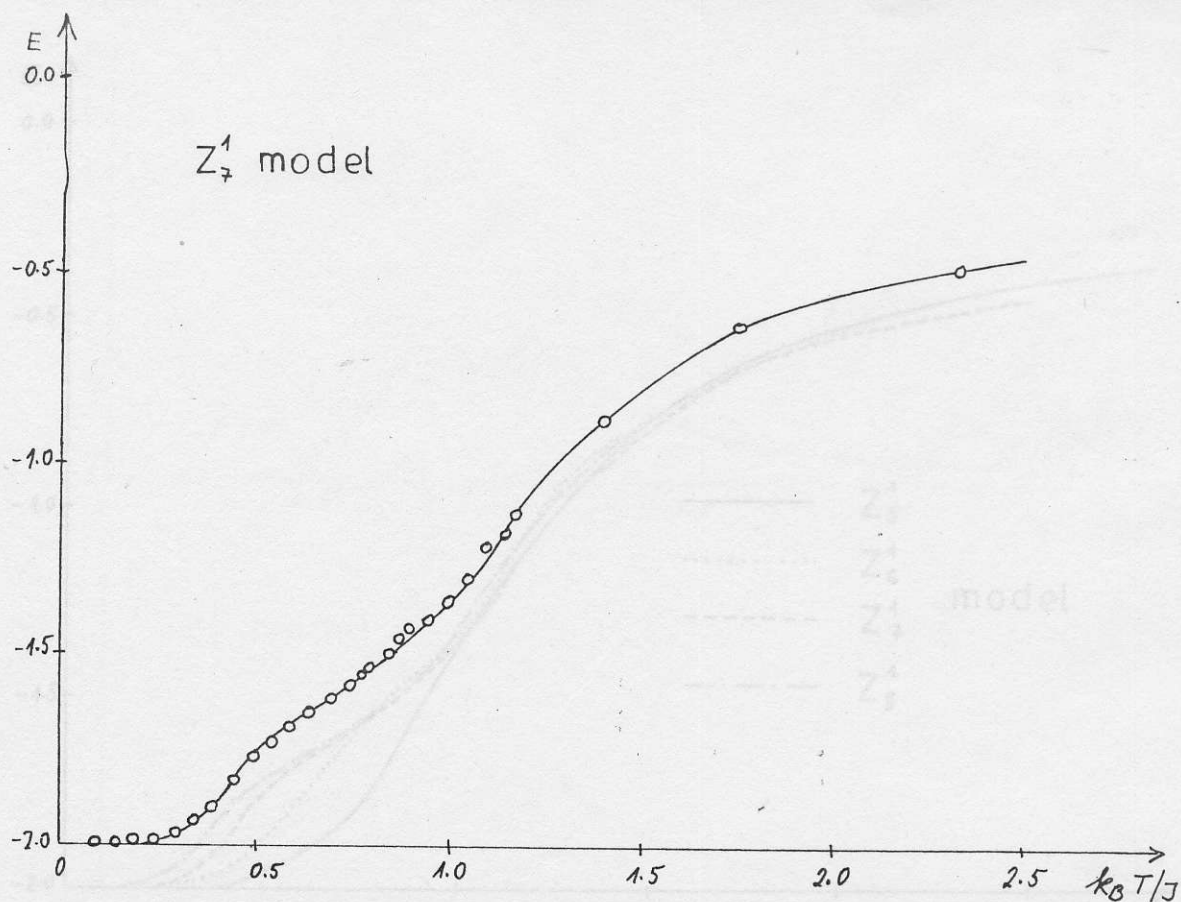
Q	kT_c / J	$kT_{c, theor} / J$
3	1.01	0.99
5	0.88	0.85
6	0.83	0.81

Tab. 2. - Odhad kritické teploty Pottsova modelu z křivky $C(T)$ v porovnání s teor. hodnotami.

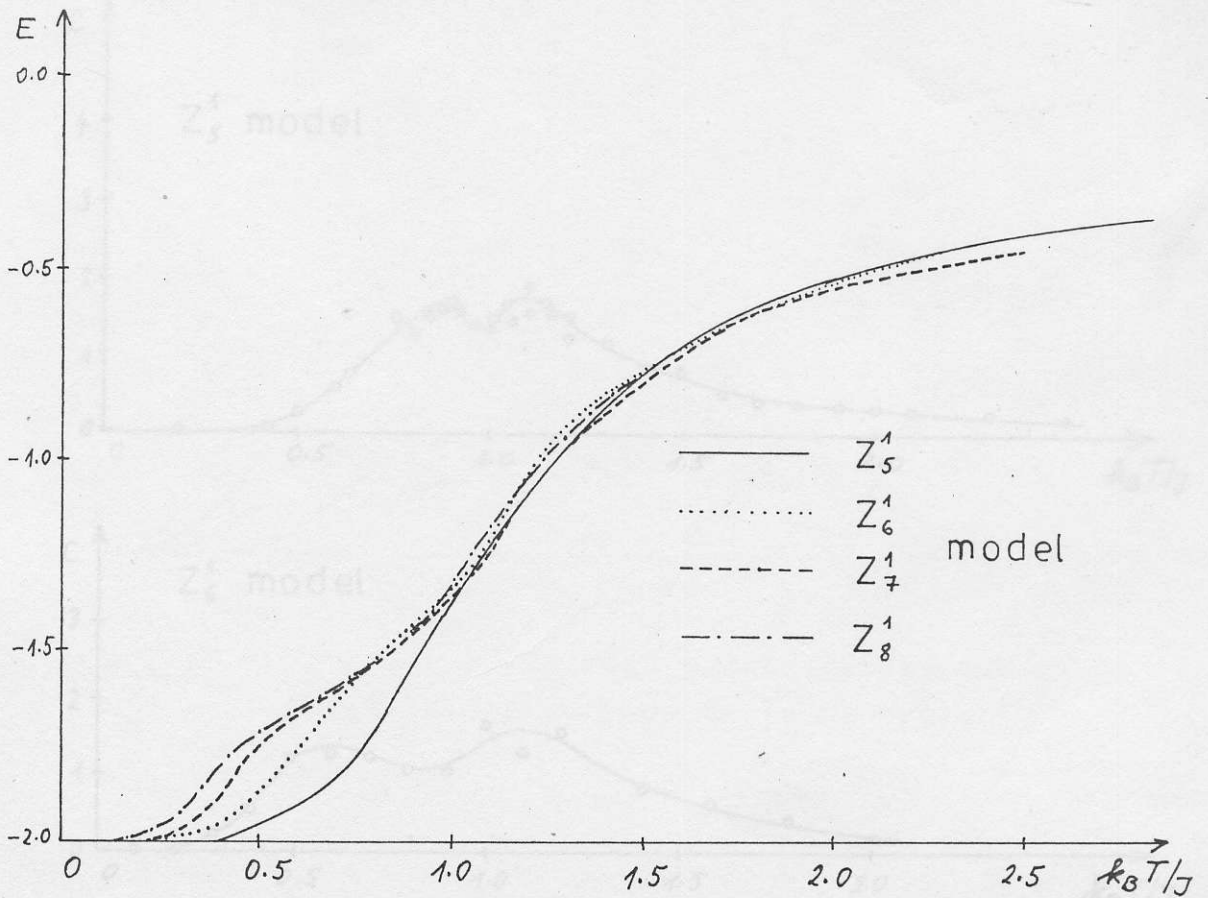
Pro Z_Q model jsou výsledné křivky závislosti energie na teplotě na obr. 12 až 14 a závislosti měrného tepla na teplotě na obr. 15 a 16. Skutečně jsou detekovány dva fázové přechody v T_c a T_k / $T_c < T_k$ /. Hodnota T_k se s změnou Q mění nepatrně, hodnota T_c se snižuje v souladu s teoretickou předpovědí $\lim_{Q \rightarrow \infty} T_c = 0$ / viz tab 3 /.



obr. 12 - Závislost energie na teplotě / Z_Q model /



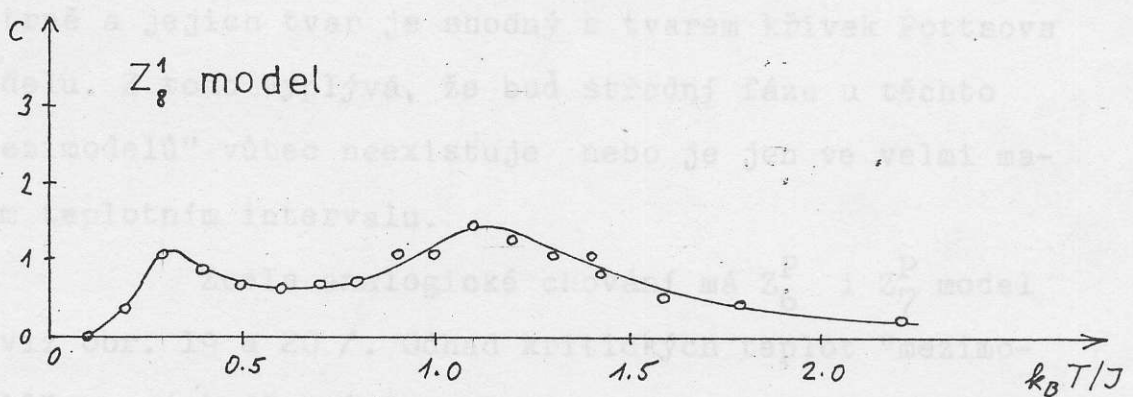
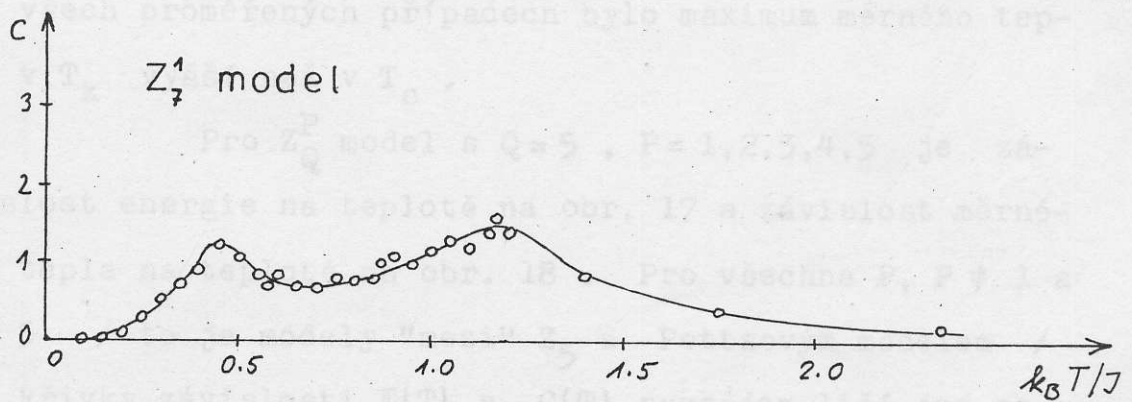
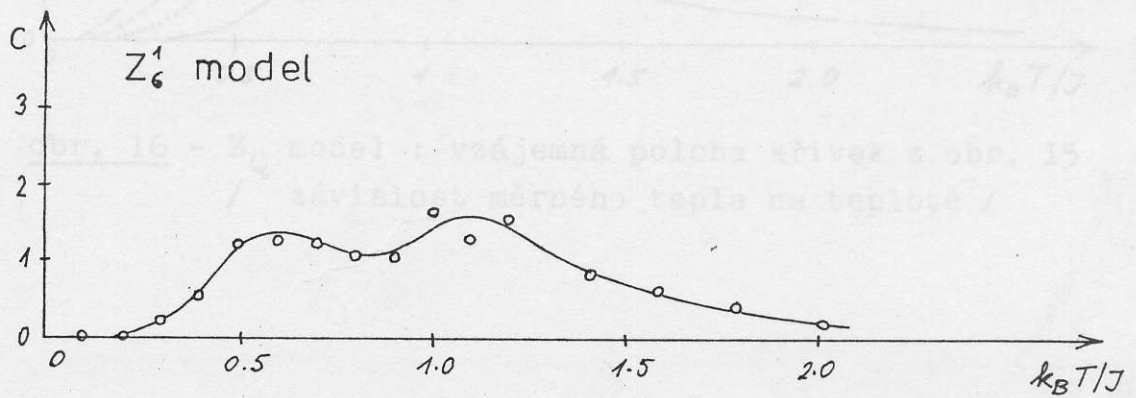
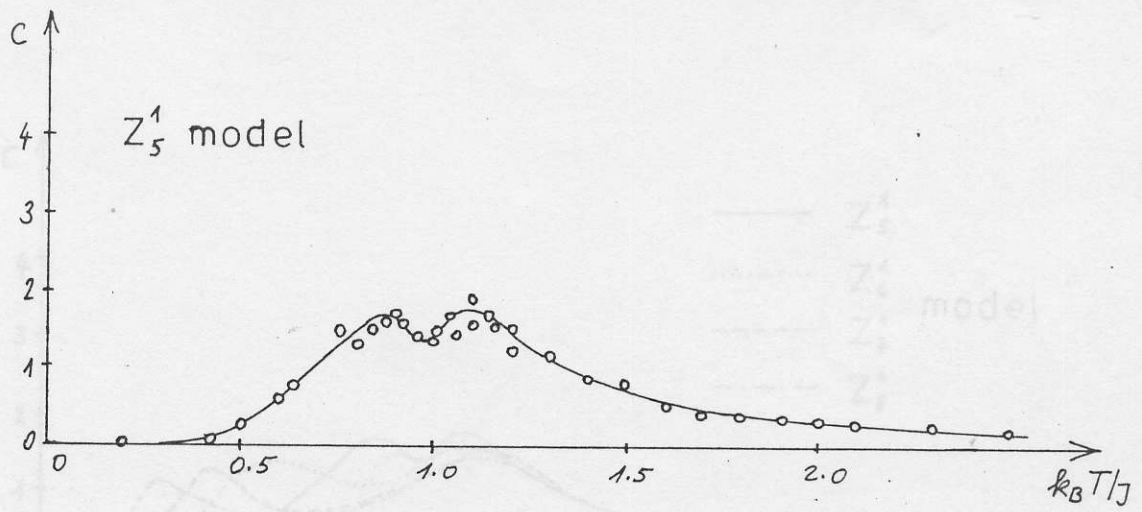
obr. 13 - Závislost energie na teplotě / Z_Q model /



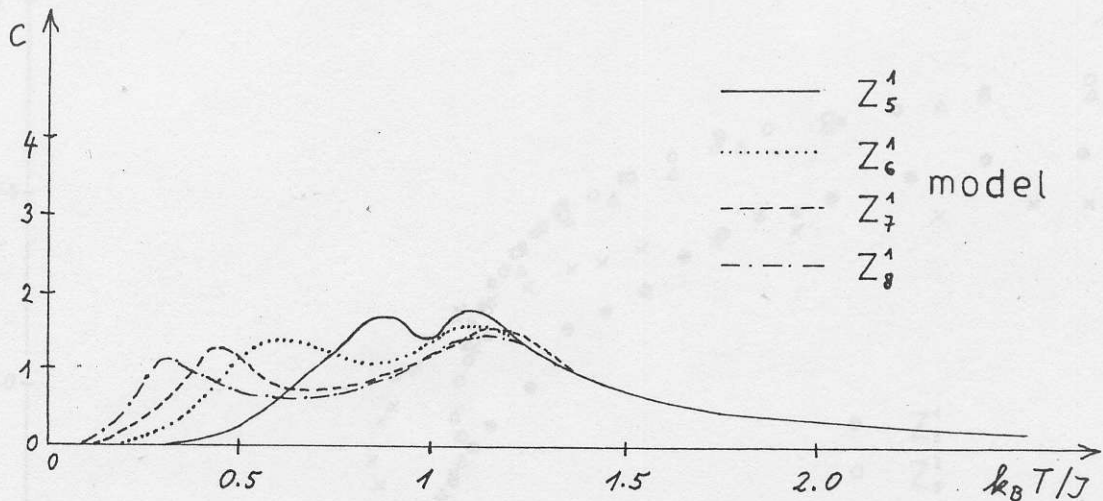
obr. 14 - Vzájemná poloha křivek z obr. 12 a 13
/ Závislost energie na teplotě pro Z_Q model /

Q	$k_B T_c / J$	$k_B T_c / J$
5	0.90	1.10
6	0.60	1.10
7	0.45	1.16
8	0.29	1.12

tab. 3 -- Odhad kritických teplot Z_Q modelu z průběhu měrného tepla.



obr. 15 - Z_Q model : závislost měr. tepla na teplotě

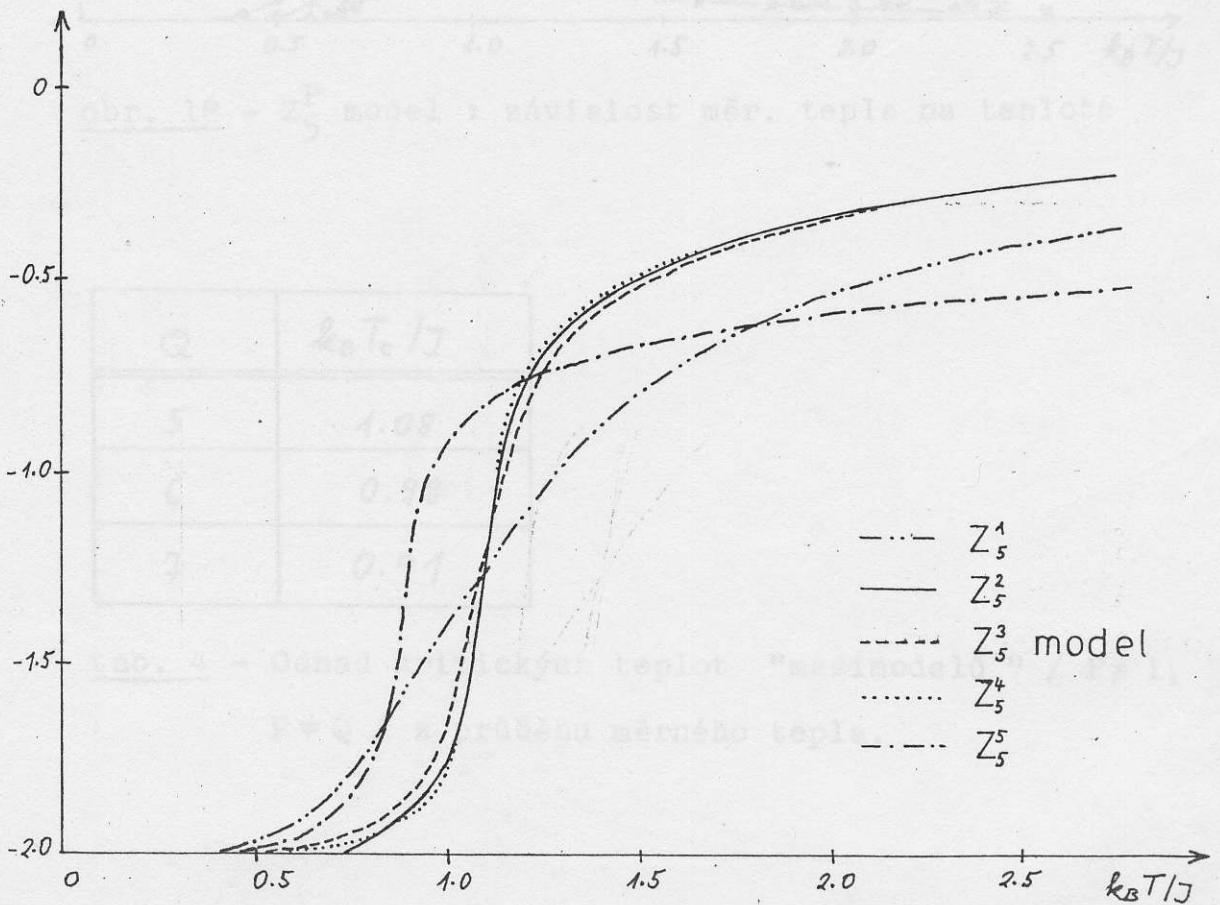
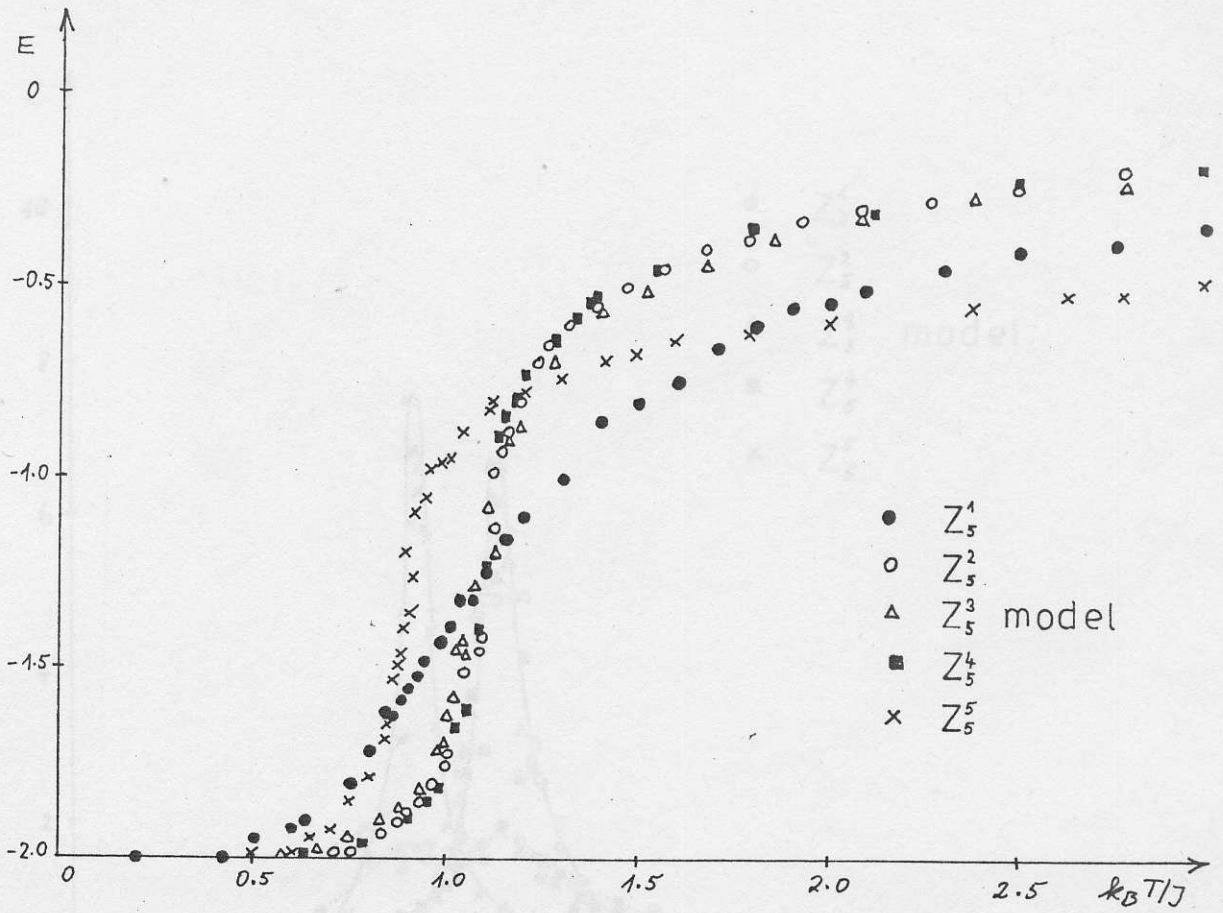


obr. 16 - Z_Q model : vzájemná poloha křivek z obr. 15
/ závislost měrného tepla na teplotě /

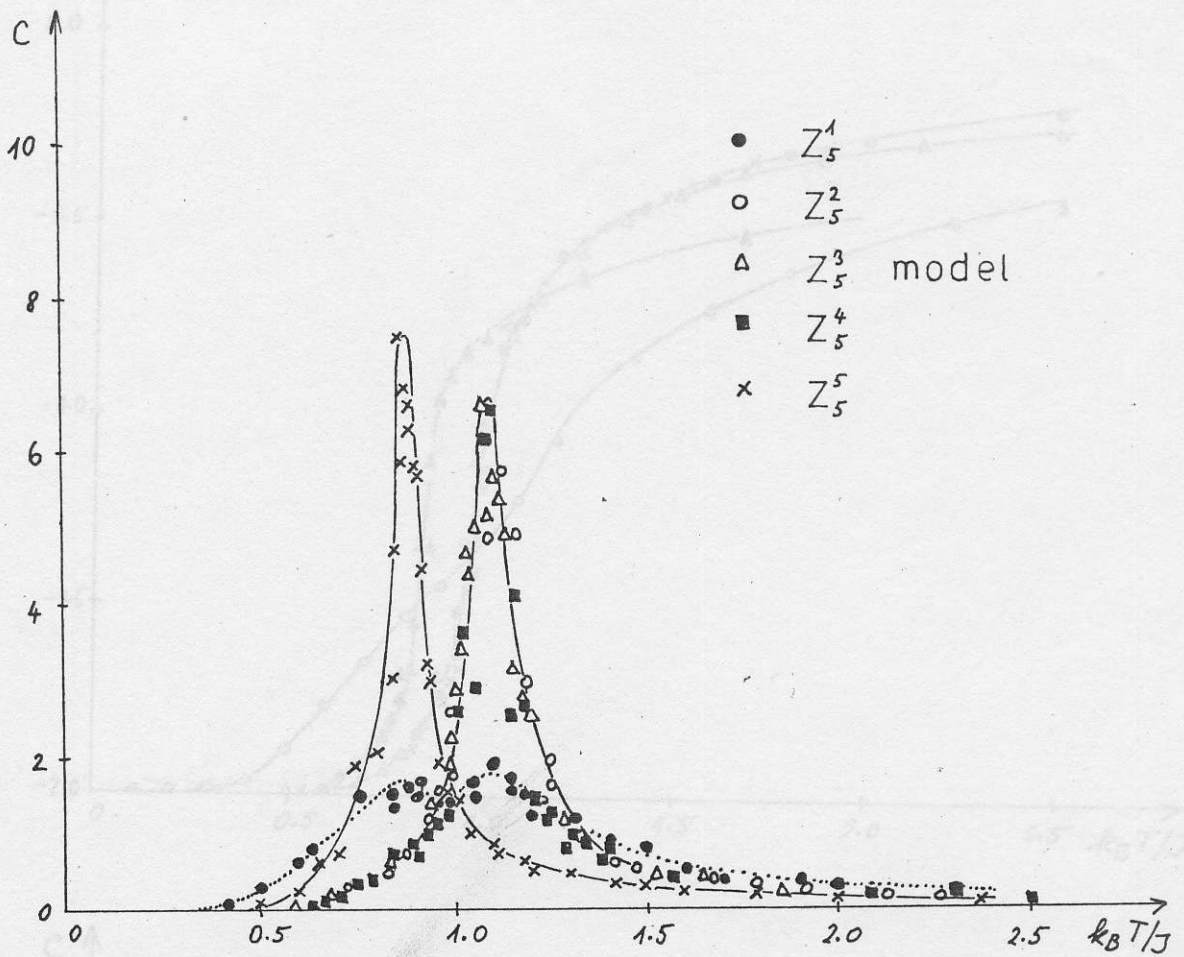
Ve všech proměřených případech bylo maximum měrného tepla v T_k vyšší než v T_c .

Pro Z_Q^P model s $Q=5$, $P=1,2,3,4,5$ je závislost energie na teplotě na obr. 17 a závislost měrného tepla na teplotě na obr. 18. Pro všechna P , $P \neq 1$ a $P \neq 5$ / to je modely "mezi" Z_5 a Pottsovým modelem / se křivky závislosti $E(T)$ a $C(T)$ navzájem liší jen nepatrně a jejich tvar je shodný s tvarem křivek Pottsova modelu. Z toho vyplývá, že buď střední fáze u těchto "mezimodelů" vůbec neexistuje nebo je jen ve velmi malém teplotním intervalu.

Zcela analogické chování má Z_6^P i Z_7^P model / viz obr. 19 a 20 /. Odhad kritických teplot "mezimodelů" na základě průběhu měrného tepla je v tab. 4.



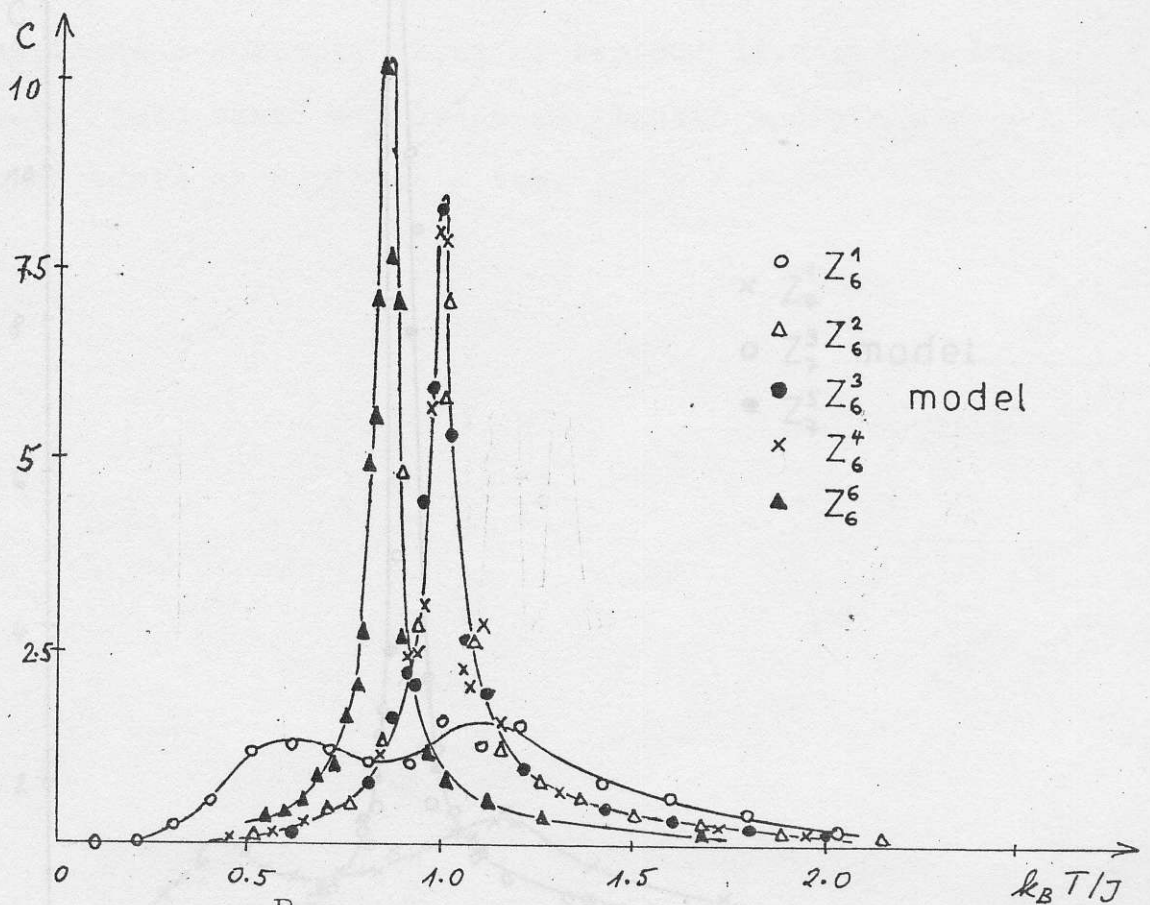
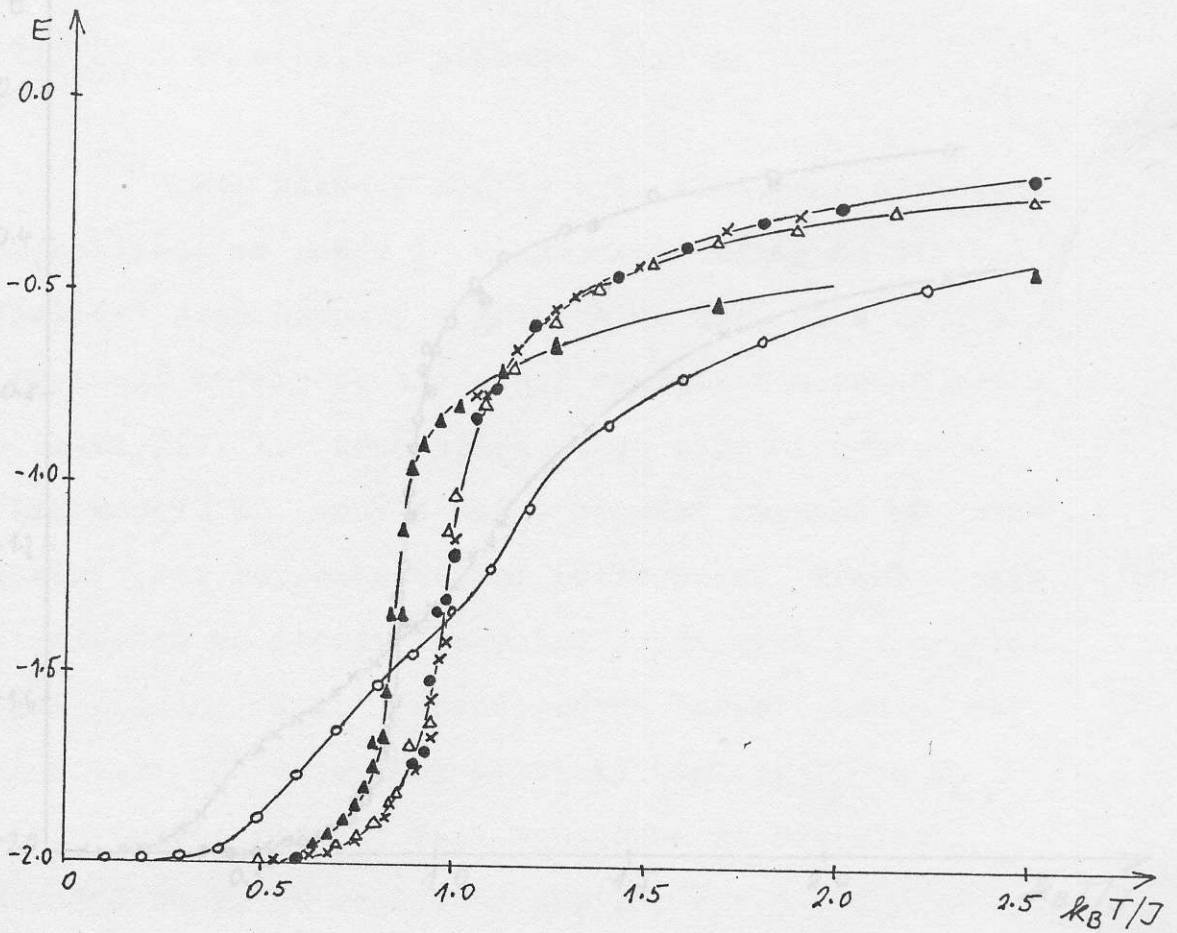
obr. 17 - Z_5^P model : závislost energie na teplotě;
 nahore-hodnoty z MC , dole-proložené křivky



obr. 18 - Z_5^P model : závislost měr. tepla na teplotě

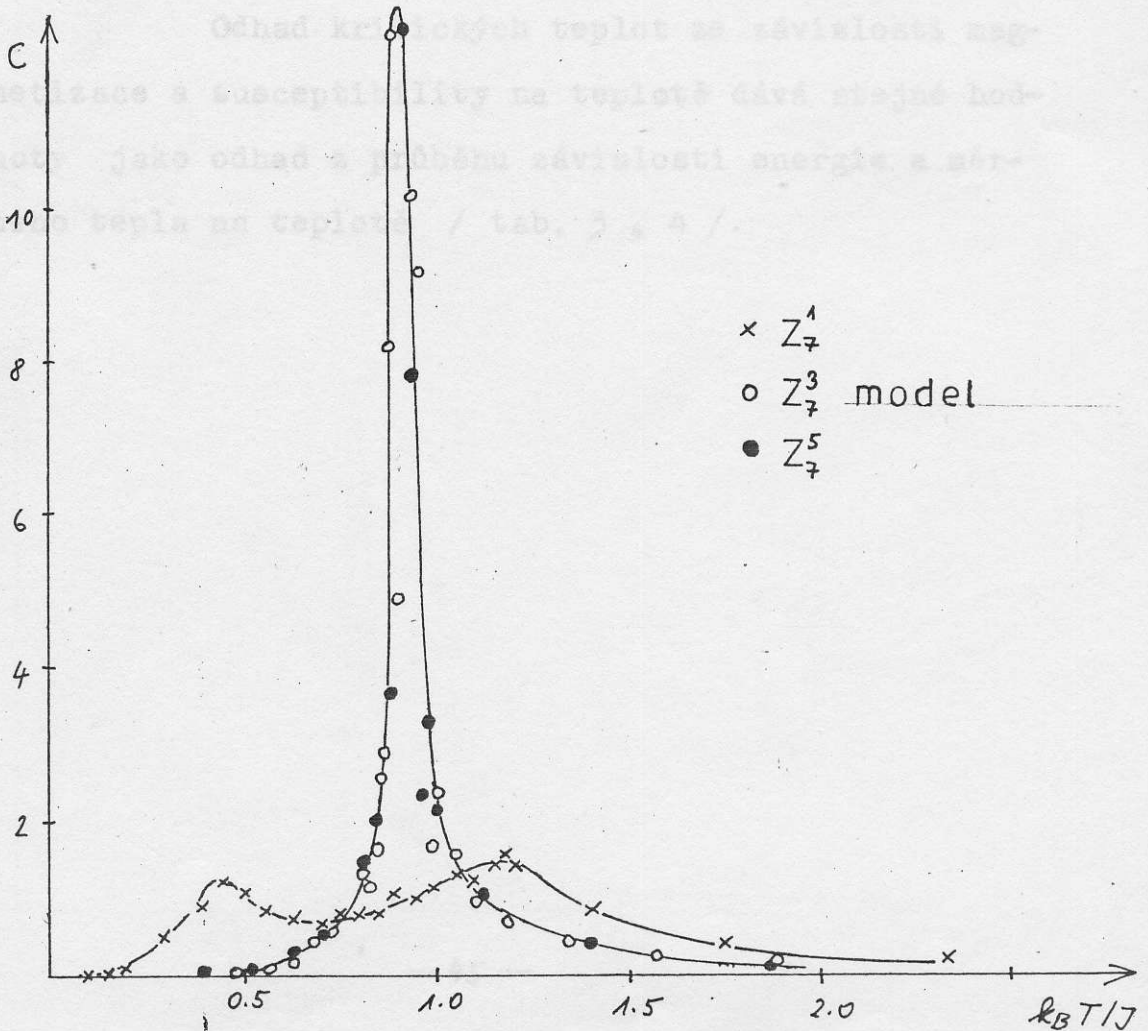
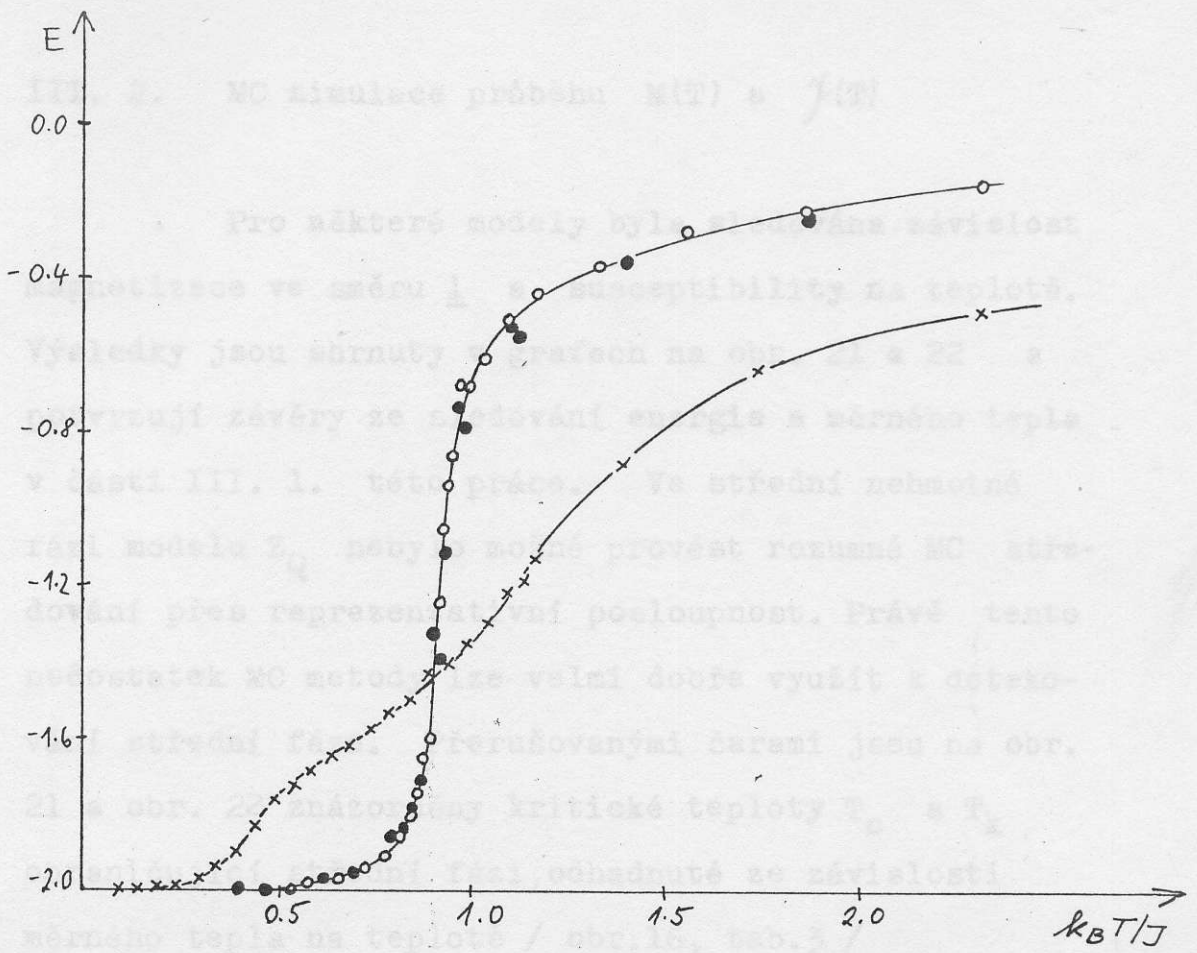
Q	$k_B T_c / J$
5	1.08
6	0.98
7	0.91

tab. 4 - Odhad kritických teplot "mezimodelů" / $P \neq 1$,
 $P \neq Q$ / z průběhu měrného tepla.



obr. 19 - Z_6^P model: záv. energie a měř. tepla na teplotě

obr. 20 Zavislost energie a středního tepla na teplotě $k_B T / J$

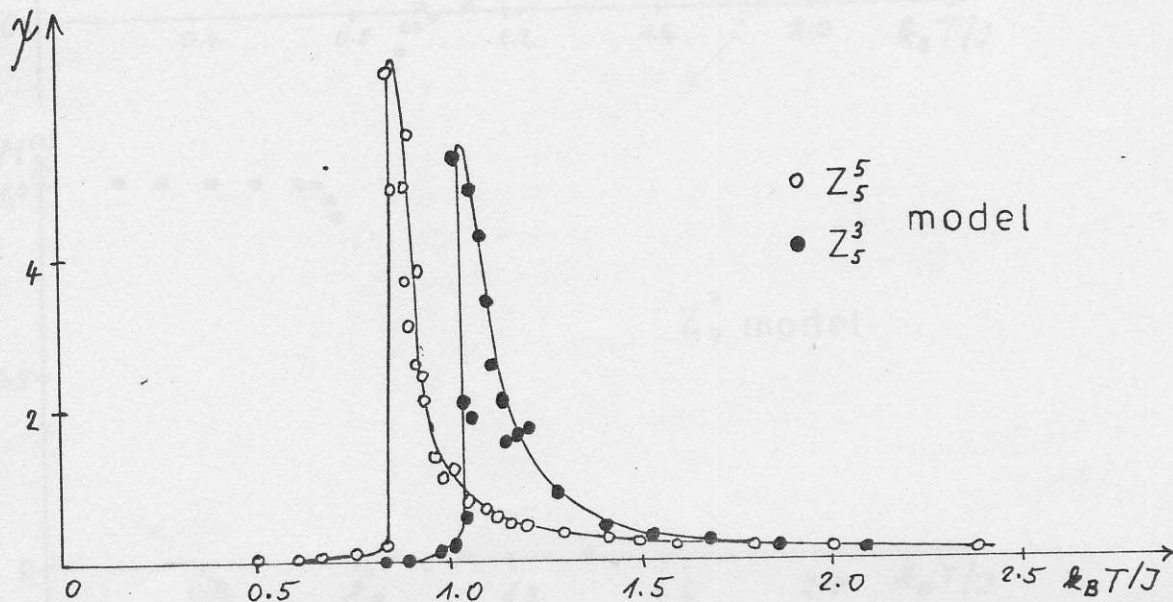
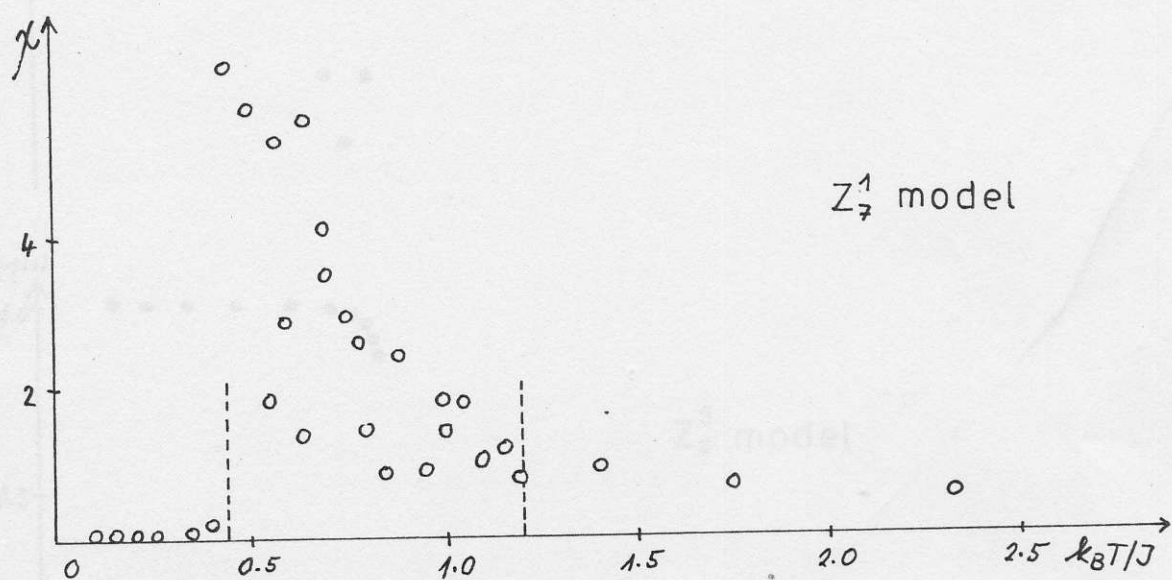
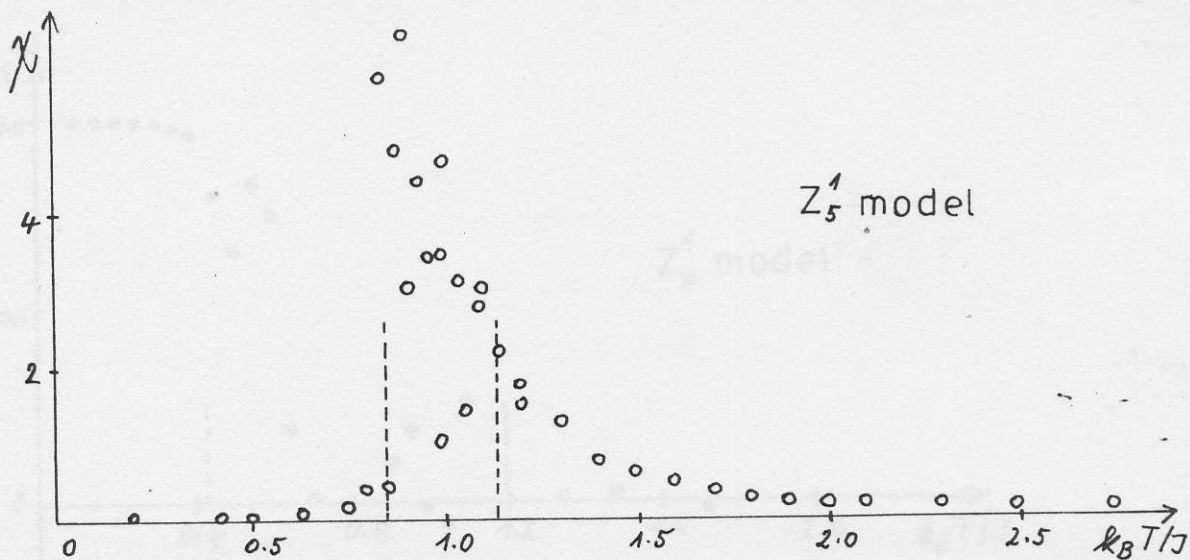


obr.20 Závislost energie a měrného tepla na teplotě / Z_7^P /

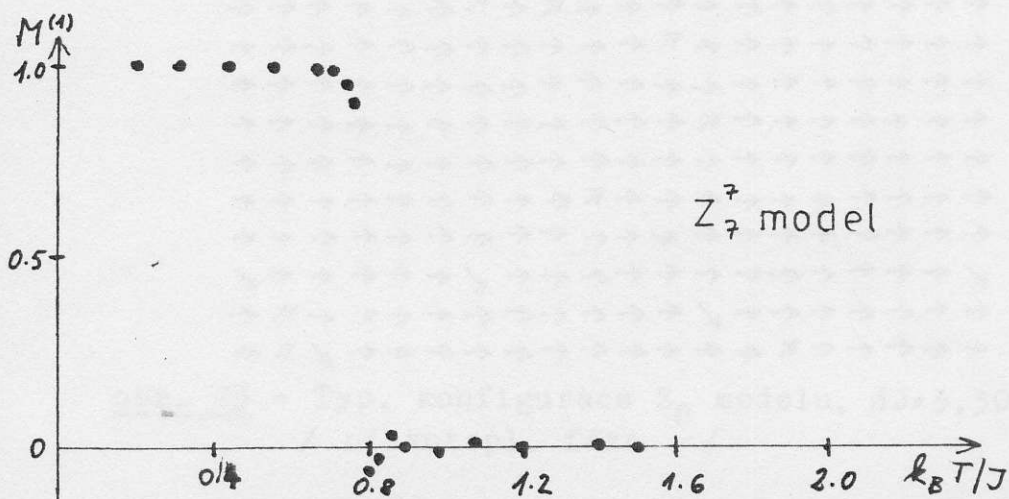
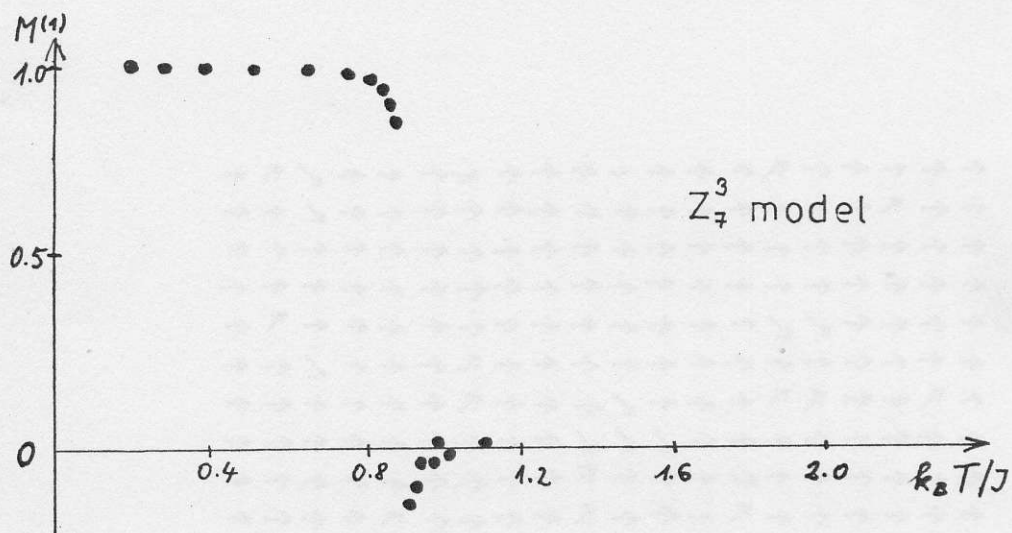
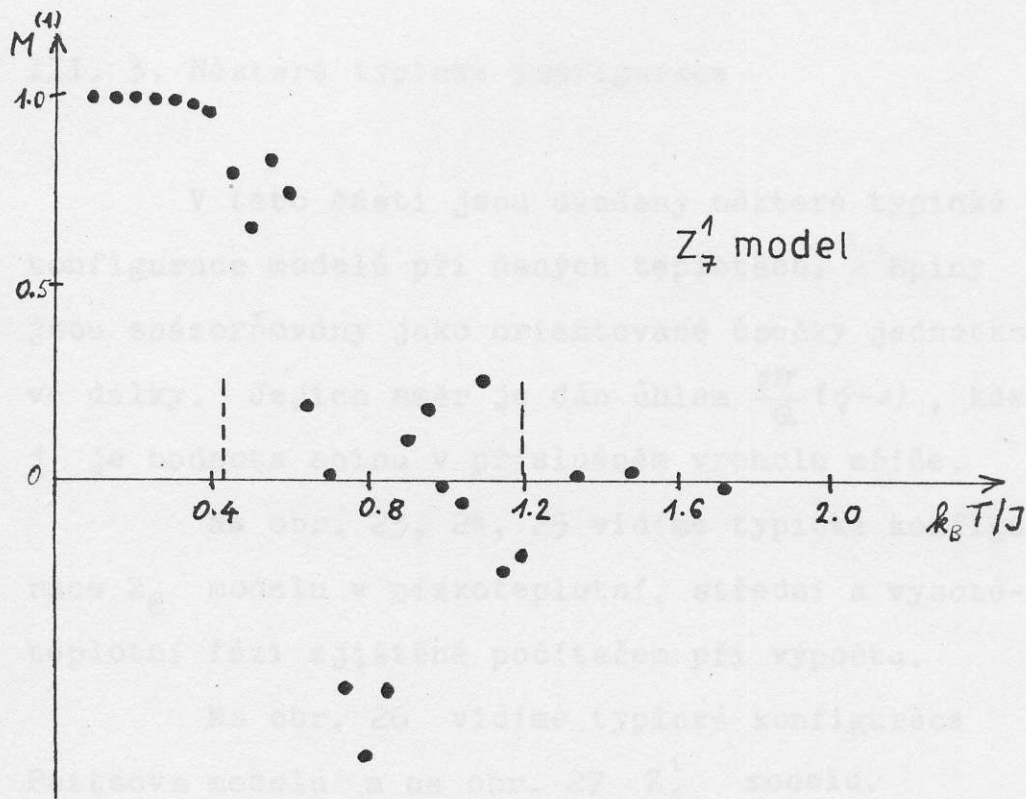
III. 2. MC simulace průběhu $M(T)$ a $\chi(T)$

Pro některé modely byla sledována závislost magnetizace ve směru \underline{l} a susceptibility na teplotě. Výsledky jsou shrnuty v grafech na obr. 21 a 22 a potvrzují závěry ze sledování energie a měrného tepla v části III. 1. této práce. Ve střední nehmotné fázi modelu Z_Q nebylo možné provést rozumné MC stře-
dování přes reprezentativní posloupnost. Právě tento nedostatek MC metody lze velmi dobře využít k detekování střední fáze. Přerušovanými čarami jsou na obr. 21 a obr. 22 znázorněny kritické teploty T_c a T_k ohraničující střední fázi, odhadnuté ze závislosti měrného tepla na teplotě / obr.16, tab.3 /

Odhad kritických teplot ze závislosti magnetizace a susceptibility na teplotě dává stejné hodnoty jako odhad z průběhu závislosti energie a měrného tepla na teplotě / tab. 3 , 4 /.



obr. 21 Závislost susceptibility na teplotě



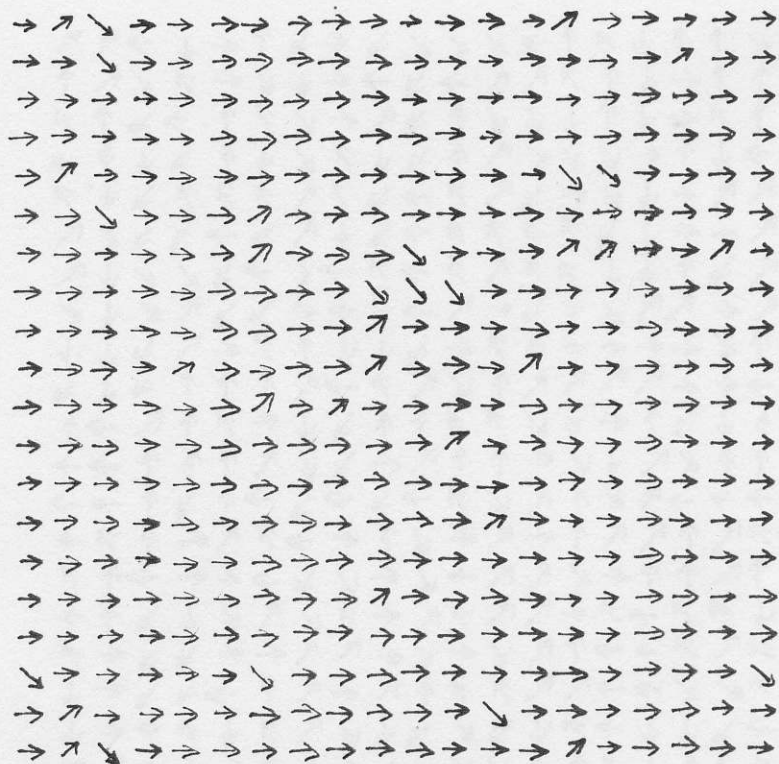
obr. 22 Závislost magnetizace na teplotě

III. 3. Některé typické konfigurace

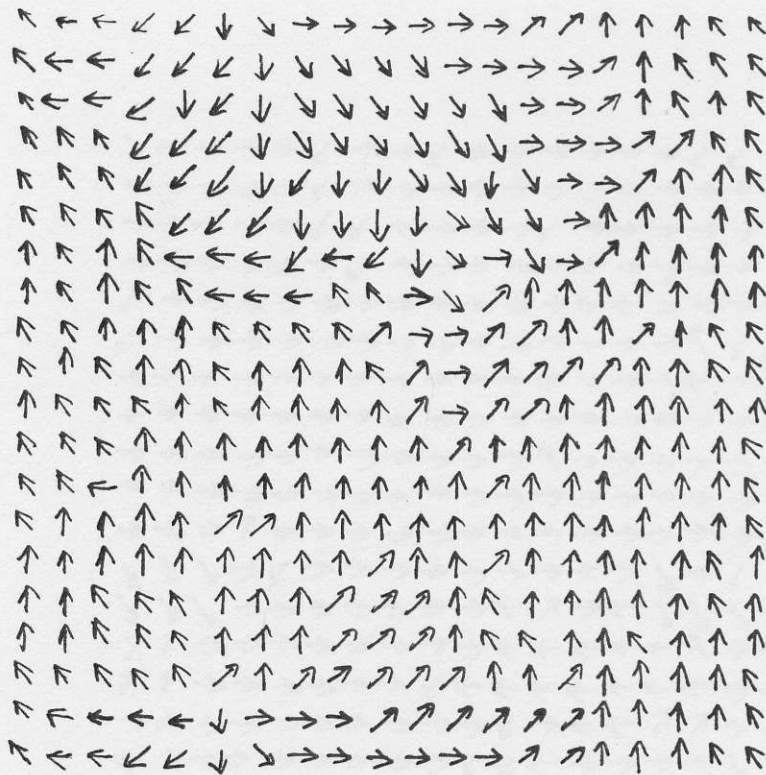
V této části jsou uvedeny některé typické konfigurace modelů při daných teplotách. Spiny jsou znázorňovány jako orientované úsečky jednotkové délky. Jejich směr je dán úhlem $\frac{2\pi}{Q}(\eta-1)$, kde η je hodnota spinu v příslušném vrcholu mříže.

Na obr. 23, 24, 25 vidíme typické konfigurace Z_8 modelu v nízkoteplotní, střední a vysokoteplotní fázi zjištěné počítačem při výpočtu.

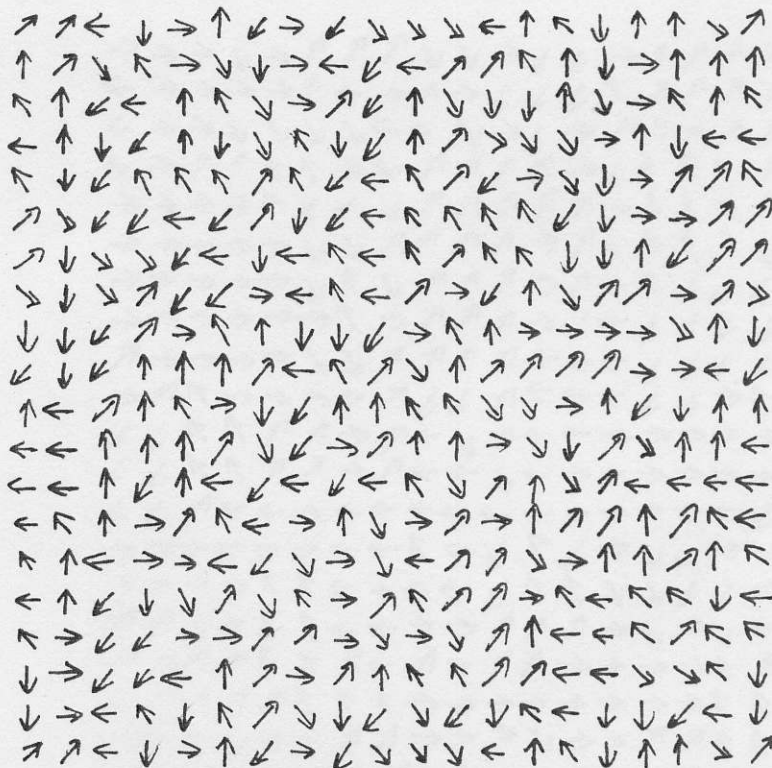
Na obr. 26 vidíme typické konfigurace Pottsova modelu a na obr. 27 Z_6^2 modelu.



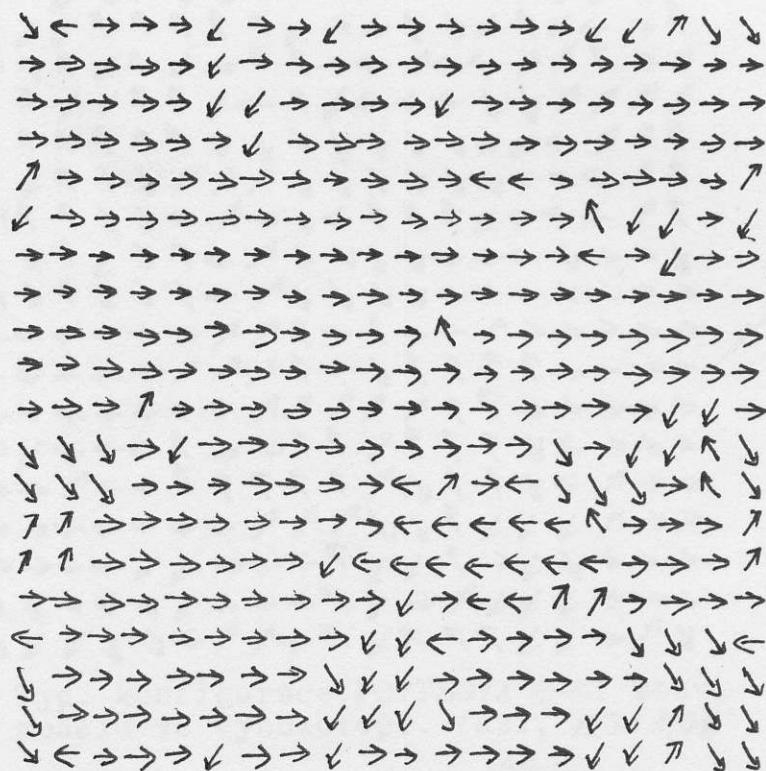
obr. 23 - Typ. konfigurace Z_8 modelu, $\beta J = 3,30$
/ nízkotepl. fáze /



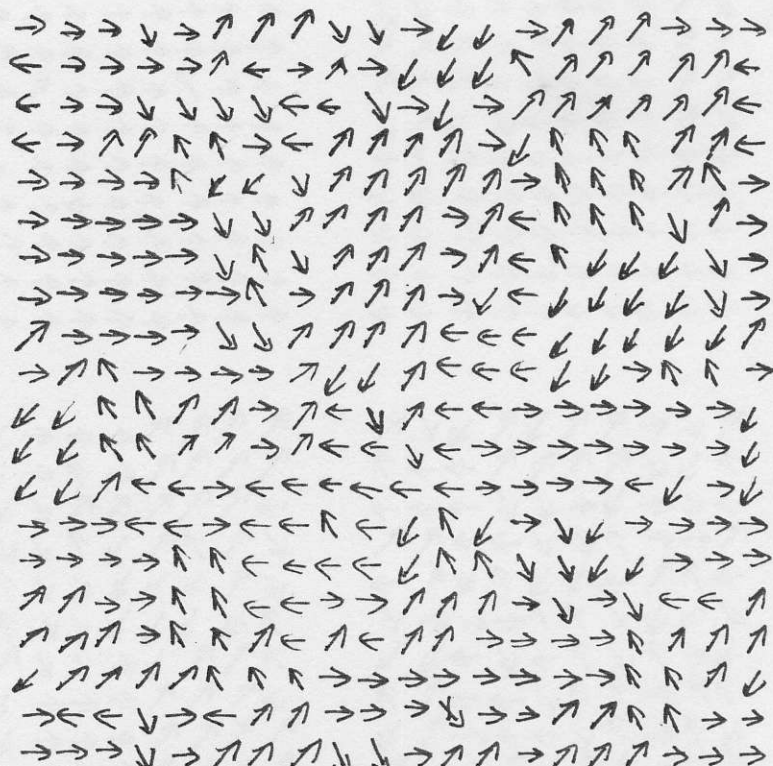
obr. 24 - Typ. konfigurace Z_8 modelu, $\beta J = 2,50$
/ střední fáze /



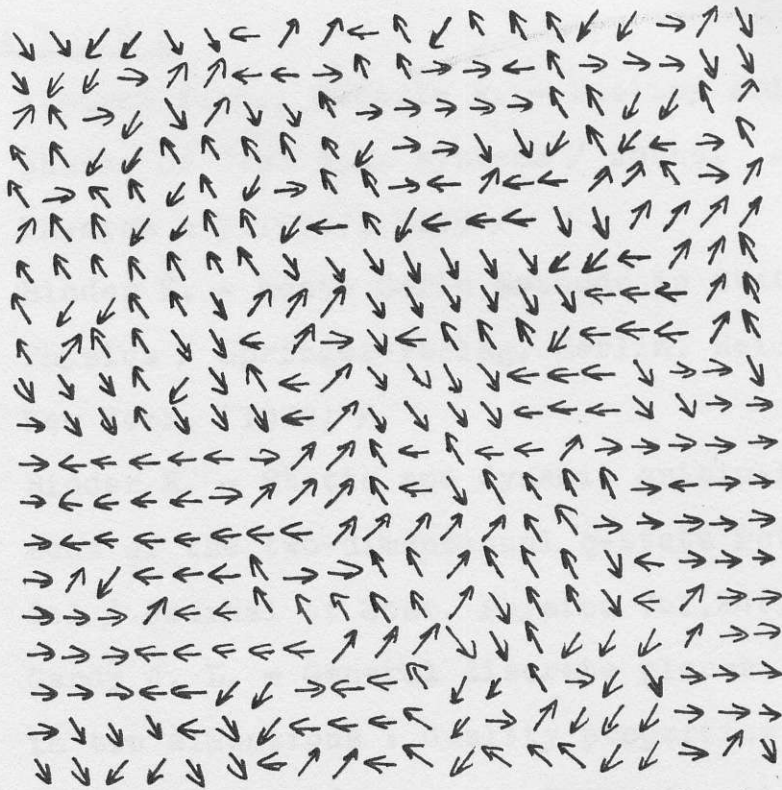
obr. 25 - Typ. konfigurace Z_8 modelu, $\beta J = 0,50$
/ vysokotepl. fáze /



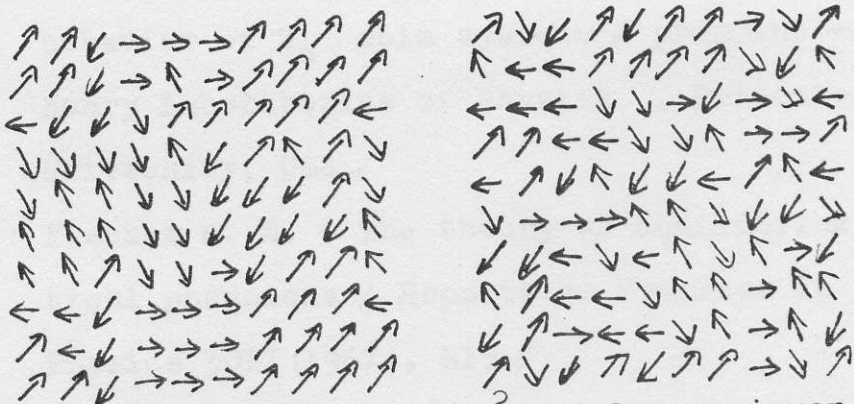
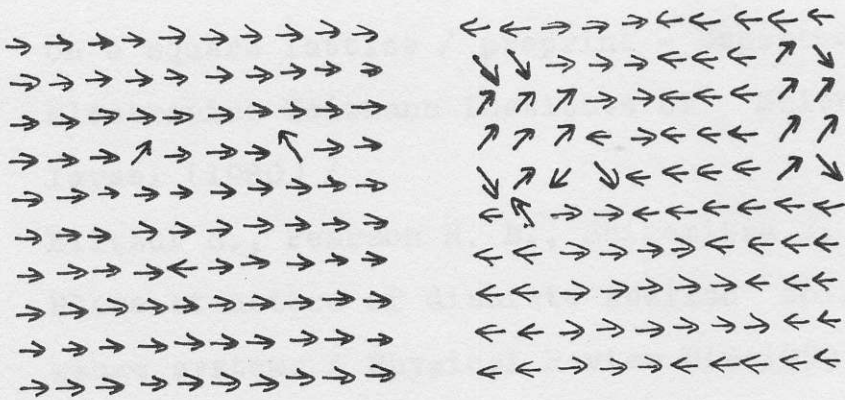
obr. 26a - Typ. konfigurace POTTISOVA 6-ti stavového modelu v nízkotepl. f., $\beta J = 1,24$



obr. 26b - Typ. konf. POTTISOVA 6-ti stavového modelu v okolí krit. teploty, $\beta J = 1,22$



obr. 26c - Typ. konfigurace POTTISOVA 6-ti stav.
 modelu ve vysokotepl. fázi, $\beta J = 1,08$



obr. 27 - Typ. konfigurace Z_6^2 modelu pro inver-
 zní teploty $\beta J = 1,11 ; 1,06 ; 1,00 ; 0,91$

L I T E R A T U R A

- [1] Alcaraz F. C., Köberle R. - Duality and the phases of $Z(N)$ spin systems / Journal of Physics A13(1980), L153 /
- [2a] Binder K. - Monte Carlo Methods in Statistical Physics / Springer-Verlag. Berlin. Heidelberg. New York. (1979) /
- [2b] Binder K. - Static and dynamic critical phenomena of the two-dimensional q -state Potts model / Journal of Stat. Physics Vol.24(1982),69/
- [3] Cardy J. L. - General discrete planar models in two dimensions : duality properties and phase diagrams / Journal of Physics A13(1980), 1507 /
- [4] Domany E. - Phase diagram of the $Z(5)$ model on a square lattice / preprint - Department of Electronics Weizmann Institute of Science , Israel (1980) /
- [5] Elitzur S., Pearson R. B., Shigemitsu J. - Phase structure of discrete Abelian spin and gauge systems / Physical Review D19(1979),3698/
- [6] Fabrizio G. A. - An estimate on the large N behavior of Z_n spin systems / preprint -Joseph Henry Laboratories of Physics , Princeton University, USA /
- [7] Fischer M. E. - The theory of equilibrium critical phenomena / Reports on Progress in Physics 30II(1967), 615 /

- [8] Grest G. S. - Monte Carlo study of the anti-ferromagnetic Potts model in two dimensions / Physical Review Letters 46(1981)/
- [9] Griffiths R. B. - Rigorous results and theorems / Phase Transitions and Critical Phenomena Vo.1 - Academic Press London(1972)/
- [10] Hamersley J. M., Handscomb D. C. - Monte Carlo Methods / Methuen and Co., London(1964)/
- [11] Kolafa J. - Diplomová práce / MFF UK(1982)/
- [12] Kosterlitz J. M., Thouless D. J. - XY model in two dimensions / Journal of Physics C6(1973),1181/
- [13] Kosterlitz J. M. / Journal of Physics C7(74),1046/
- [14] Marshall W., Lowde R. D. / Reports on Progress in Physics 31(1968),705 /
- [15] Olehla M., Věchet V., Olehla J. - Řešení úloh matematické statistiky ve FORTRANU / NADAS 1983/
- [16] Sadowski W. - Matematická statistika / ALFA 1975 /
- [17] Temperley H. N. V. - Two-dimensional Ising models / Phase Transitions and Critical Phenomena Vo.1, Academic Press London(1972)/
- [18] Thompson C.J. - Mathematical Statistical Mechanics / New York(1971)/
- [19] Yoneya T. - $Z(N)$ topological excitations in Yang - Mills theories : duality and confinement / Nuclear Physics B144(1978), 195 /